

Ruang J108, 8 Januari 2015

ANALISIS AVO (AMPLITUDE VERSUS OFFSET), ATRIBUT SEISMIK DAN PROPERTI FISIKA BATUAN UNTUK IDENTIFIKASI GAS RESERVOIR KARBONAT *REEF BUILD UP*, LAPANGAN 'KATIMAN' CEKUNGAN JAWA BARAT BAGIAN UTARA

Oleh:

Pebrian Tunggal Prakosa

Dosen Pembimbing:

Prof. Dr. rer. nat. Bagus Jaya Santosa, S.U

Φ



Arek ITS
cak!
Cerdas, Amanah, Kreatif



OUTLINE

PENDAHULUAN

GEOLOGI REGIONAL

TINJAUAN PUSTAKA

METODOLOGI

HASIL DAN
PEMBAHASAN

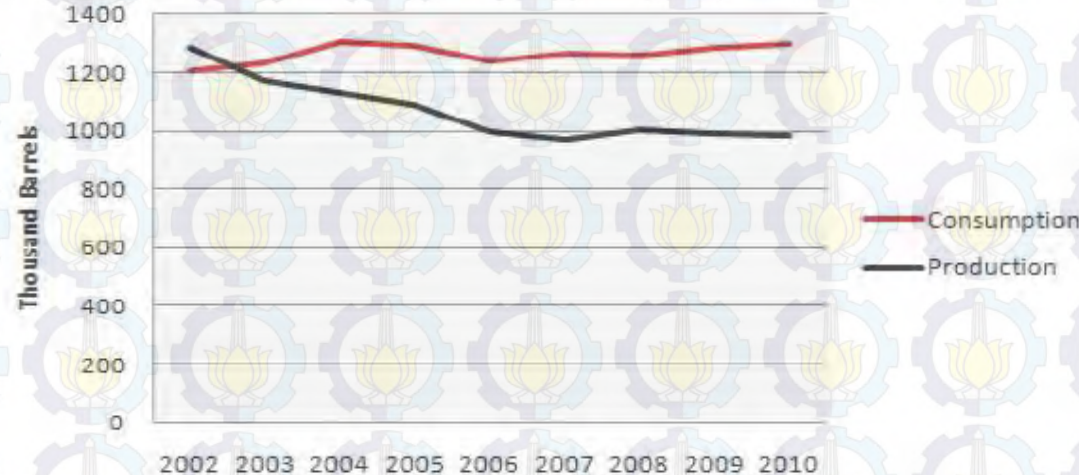
KESIMPULAN

PENDAHULUAN

Latar Belakang

- Kebutuhan energi di Indonesia semakin meningkat

Produksi
Hidrokarbon



- Produksi hidrokarbon dari reservoir karbonat
- Perkembangan analisa AVO dan atribut seismik di reservoir Karbonat masih jarang.

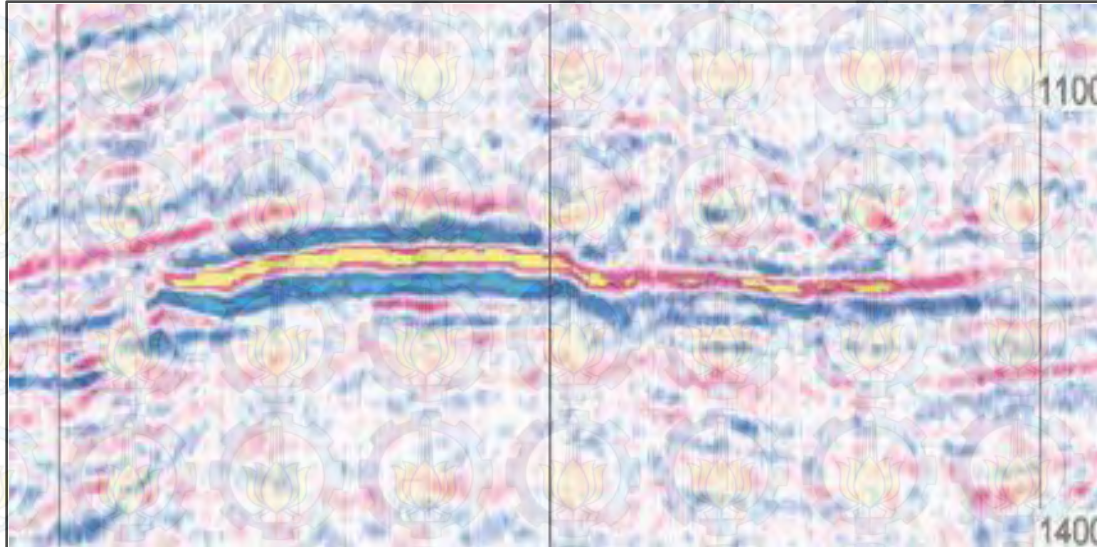
Courtesy of International Energy Agency, 2007

PENDAHULUAN

Latar Belakang

1970

Anomali Bright spot menjadi indikator utama keberadaan hidrokarbon



Tidak semua anomali bright spot menunjukkan keberadaan hidrokarbon

1984

Ostrander mengembangkan konsep untuk interpretasi anomali amplitudo yang dinamakan metode AVO.

2003
sekarang

Dikembangkan analisa AVO pada reservoir karbonat clastic, dolomitic dan cavern reservoir.

Tujuan

- Menentukan daerah prospek hidrokarbon menggunakan data sumur
- Mengetahui perbedaan respon AVO pada reservoir batuan karbonat yang berisi gas dan kering
- Mengetahui persebaran fluida gas reservoir karbonat Pada penampang seismik
- Mengetahui respon fluida terhadap properti fisika batuan

Batasan Masalah

- Daerah penelitian merupakan formasi Baturaja dan formasi Parigi cekungan Jawa Barat bagian Utara.
- Data seismik yang digunakan adalah data seismik *CDP gather*, dengan asumsi bahwa pengolahan data seismik sudah benar dan baik untuk dilakukan proses selanjutnya
- Data sumur yang digunakan adalah satu data sumur.
- Analisa fisika batuan hanya digunakan untuk melihat *trend* Pengaruh fluida gas.

OUTLINE

PENDAHULUAN

GEOLOGI REGIONAL

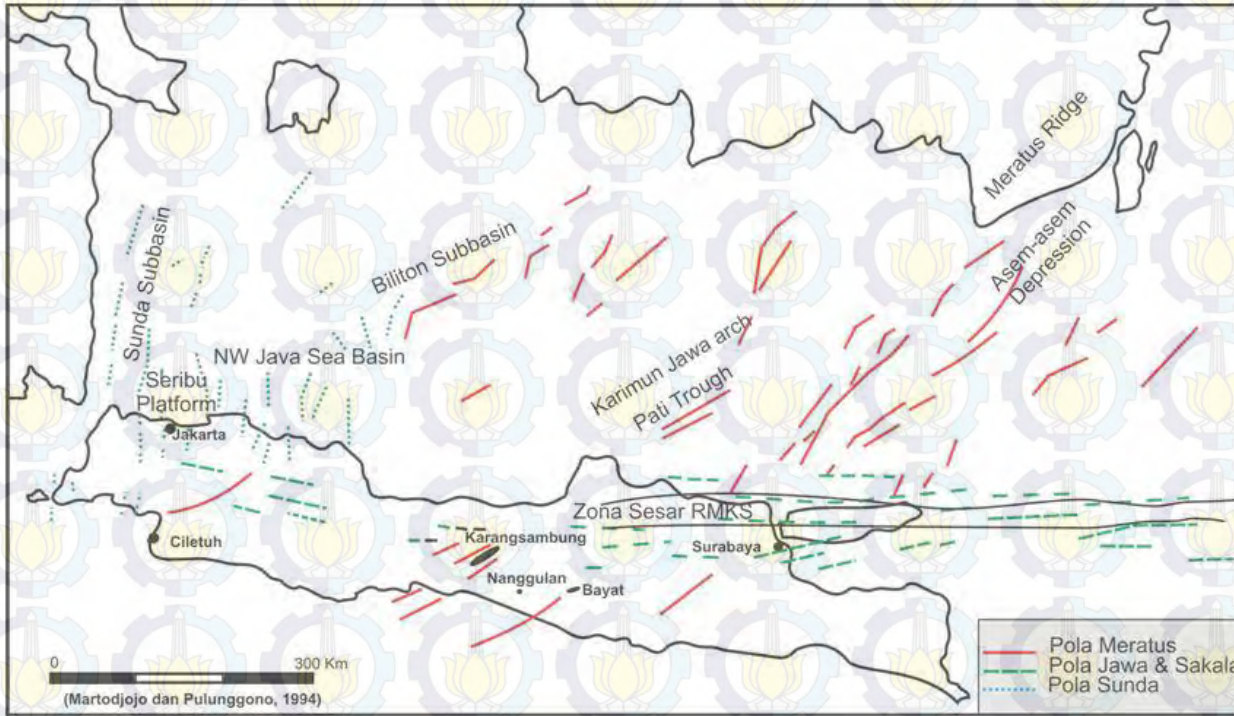
TINJAUAN PUSTAKA

METODOLOGI

HASIL DAN
PEMBAHASAN

KESIMPULAN

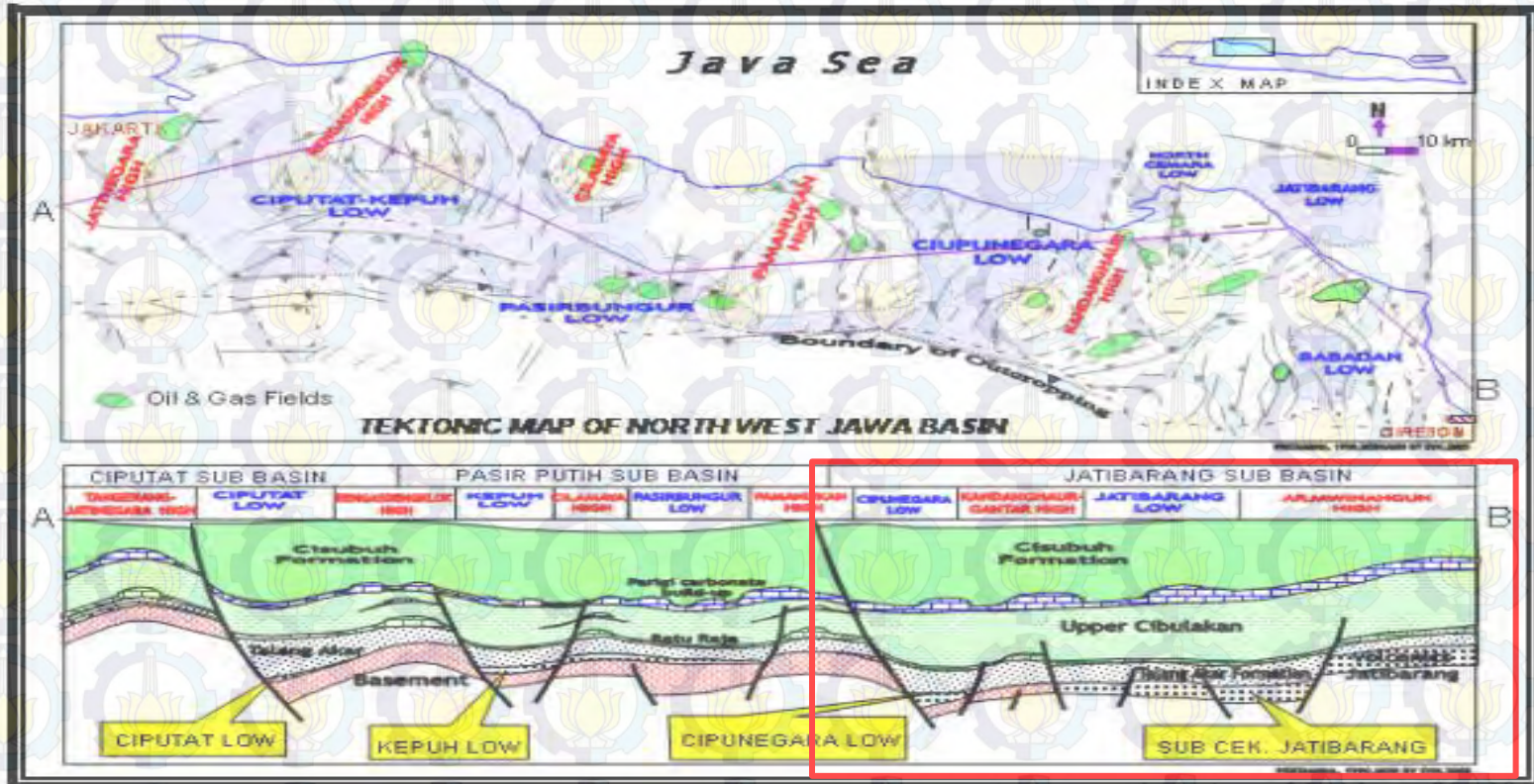
Tectonic setting Jawa Barat



- **Pola Meratus (arah Timur laut - Barat daya)**
- **Pola Sunda (arah Utara – Selatan)**
- **Pola Jawa (arah Barat – Timur)**

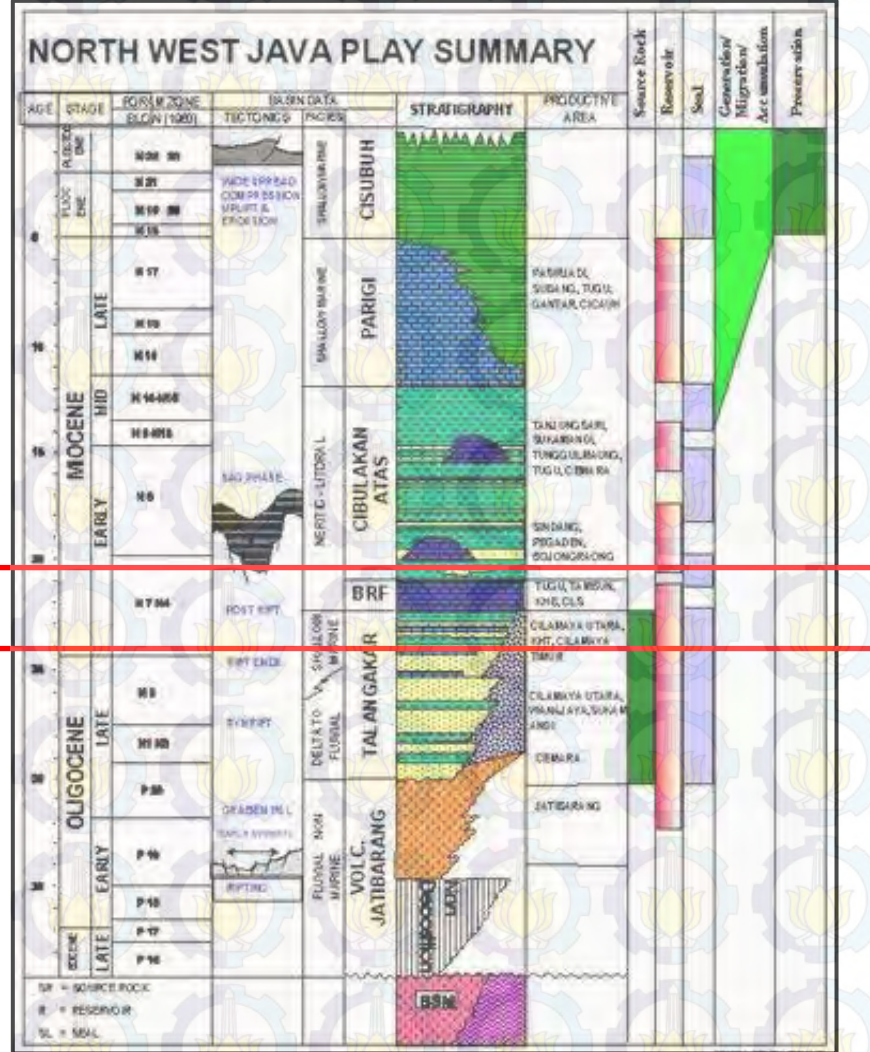
(Martodjojo dan Pulunggono, 1994)

Sub-cekungan di cekungan Jawa Barat bagian Utara



(Pertamina, 1996)

Stratigrafi Jawa Barat Bagian Utara



Formasi Baturaja

- Diendapkan pada fasies laut dangkal, pada fase *postrift*
- Terdiri dari batuan karbonat *reefal*

(Pertamina, 1996)

OUTLINE

PENDAHULUAN

GEOLOGI REGIONAL

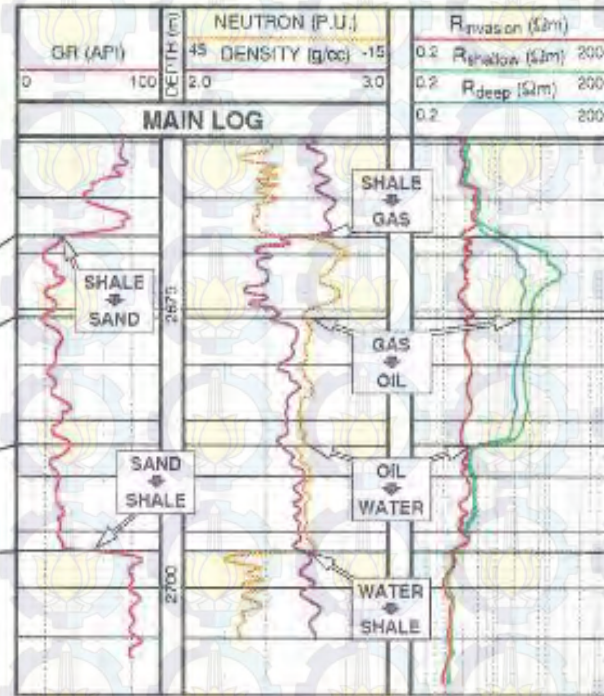
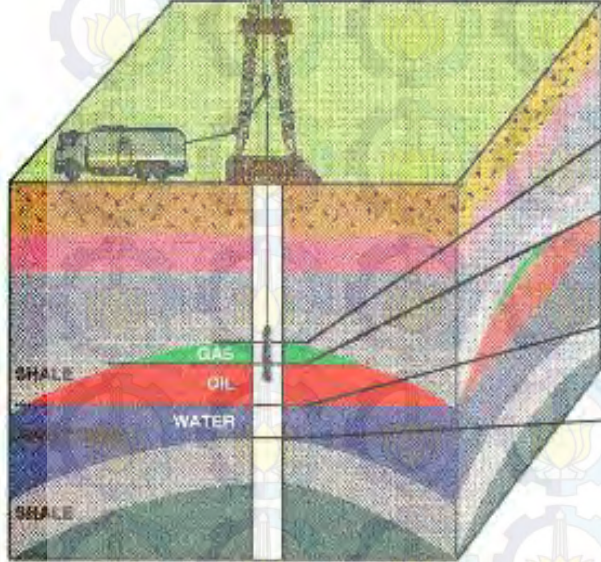
TINJAUAN PUSTAKA

METODOLOGI

HASIL DAN
PEMBAHASAN

KESIMPULAN

Analisa Well Log



Standart log

- Gamma Ray
- Caliper
- Resistivity
(Induction / Laterolog)
- Density
- Neutron Porosity
- Akustik / Sonic

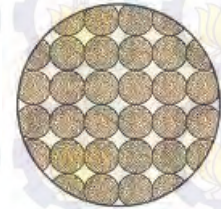


(Harsono, 1997)

Properti Fisika Batuan

Porositas

Perbandingan antara volume pori batuan dengan volume totalnya



Saturasi Air

Nilai prosentasi pori batuan yang terisi air formasi

$$\frac{1}{Rt} = \left(\frac{V_{cl} \left(1 - \frac{V_{cl}}{2} \right)}{\sqrt{R_{cl}}} + \frac{\phi_e}{\sqrt{R_w}} \right)^2 S_w^2$$

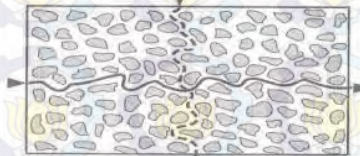


$\phi = 0 - 33\%$
 $Sw = 100\%$
Fluida = air

Permeabilitas

Kemampuan Batuan untuk melewatkkan fluida

$$K = 8649 \frac{\phi^{4.4}}{Sw^2}$$



P-impedance

Kemampuan batuan untuk melewatkkan gelombang seismik

$$ZP = \rho * Vp$$

(Asquith, 2001), (Raharjo, 2009), (Hendriansyah, 2005)

Properti Fisika Batuan

Poisson's Ratio

Konstanta elastis suatu batuan yang menggambarkan perbandingan dari perubahan bentuk yang diakibatkan pengaruh gelombang P dan S

$$\sigma = \frac{\gamma - 2}{2\gamma - 2} \quad \text{dimana: } \gamma = \left(\frac{V_p}{V_s} \right)^2$$

Rigiditas

Kemampuan batuan untuk berubah bentuk atau bergeser (*slide over*) terhadap **stress**

$$\mu\rho = ZS^2$$



Inkompresibilitas

Parameter yang menunjukkan besarnya perubahan volume apabila dikenai **stress**

$$\lambda\rho = ZP^2 - 2ZS^2$$



(Asquith, 2001), (Raharjo, 2009), (Hendriansyah, 2005)

Seismik Refleksi

Incident

P-wave

Reflected
S-wave

Reflected
P-wave

v_{p1}, v_{s1}, ρ_1

v_{p2}, v_{s2}, ρ_2

θ_i

θ_r

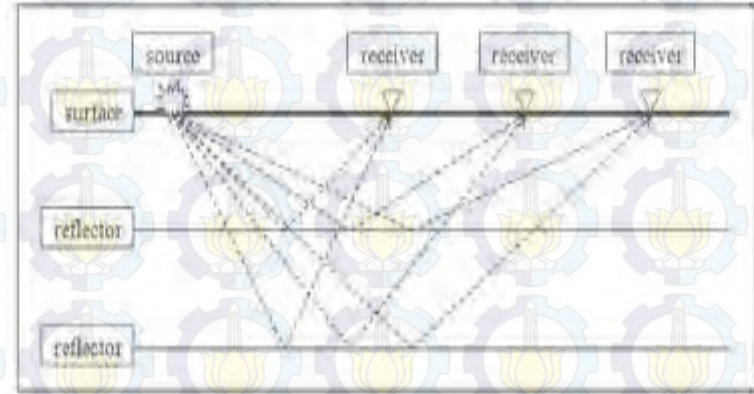
ϕ_r

Transmitted
P-wave

Transmitted
S-wave

θ_t

ϕ_t



Jika $\theta > 0^\circ$, gelombang P yang datang akan menghasilkan refleksi gelombang P and S
Juga transmisi gelombang P dan S.

(Russell, 1996)

Persamaan Zoeppritz

Zoeppritz menurunkan amplitudo dari gelombang yang terefleksi dan tertransmisi menggunakan konservasi dari stress dan displacement sepanjang batas lapisan, yang memberikan empat persamaan dari empat variabel yang tidak diketahui.

Dengan menginversi matriks dari persamaan Zoeppritz memberikan amplitudo sebagai fungsi sudut (zoeppritz, 1919)

$$\begin{bmatrix} R_P \\ R_S \\ T_P \\ T_S \end{bmatrix} = \begin{bmatrix} -\sin \theta_1 & -\cos \phi_1 & \sin \theta_2 & \cos \phi_2 \\ \cos \theta_1 & -\sin \phi_1 & \cos \theta_2 & -\sin \phi_2 \\ \sin 2\theta_1 & \frac{V_{P1}}{V_{S1}} \cos 2\phi_1 & \frac{\rho_2 V_{S2}^2 V_{P1}}{\rho_1 V_{S1}^2 V_{P2}} \cos 2\phi_1 & \frac{\rho_2 V_{S2} V_{P1}}{\rho_1 V_{S1}^2} \cos 2\phi_2 \\ -\cos 2\phi_1 & \frac{V_{S1}}{V_{P1}} \sin 2\phi_1 & \frac{\rho_2 V_{P2}}{\rho_1 V_{P1}} \cos 2\phi_2 & -\frac{\rho_2 V_{S2}}{\rho_1 V_{P1}} \sin 2\phi_2 \end{bmatrix}^{-1} \begin{bmatrix} \sin \theta_1 \\ \cos \theta_1 \\ \sin 2\theta_1 \\ \cos 2\phi_1 \end{bmatrix}$$

Dimana : Rp : Amplitudo gelombang P refleksi

Rs : Amplitudo gelombang S refleksi

Tp : Amplitudo gelombang P transmisi

Ts : Amplitudo gelombang S transmisi

(Zoeppritz, 1919)

TINJAUAN PUSTAKA

Persamaan Aki Richard

$$R(\theta) = R_{po} + G \sin^2 \theta + C \tan^2 \theta \sin^2 \theta$$

$$R_{po} = \frac{1}{2} \left[\frac{\Delta V_p}{V_p} + \frac{\Delta \rho}{\rho} \right]$$

$$G = \frac{1}{2} \frac{\Delta V_p}{V_p} - 4 \left[\frac{\Delta V_s}{V_s} \right]^2 \frac{\Delta V_s}{V_s} - 2 \left[\frac{\Delta V_s}{V_s} \right]^2 \frac{\Delta \rho}{\rho}$$

$$C = \frac{1}{2} \frac{\Delta V_p}{V_p}$$

Persamaan Shuey

$$R(\theta) = \frac{1}{2} \left(\frac{\Delta v_p}{v_p} + \frac{\Delta \rho}{\rho} \right) + \left(\frac{1}{2} \frac{\Delta v_p}{v_p} - 4 \frac{v_s^2}{v_p^2} \frac{\Delta v_s}{v_s} - 2 \frac{v_s^2}{v_p^2} \frac{\Delta v_p}{v_p} \right) \sin^2 \theta + \frac{1}{2} \frac{\Delta v_p}{v_p} (\tan^2 \theta - \sin^2 \theta)$$

$$R(\theta) = R_p + \left(R_p A_0 + \frac{\Delta \sigma}{(1-\sigma)^2} \sin^2 \theta + \frac{1}{2} \frac{\Delta \alpha}{\alpha} (\tan^2 \theta - \sin^2 \theta) \right)$$

Untuk sudut kecil $\sin^2 \theta = \tan^2 \theta$, sehingga

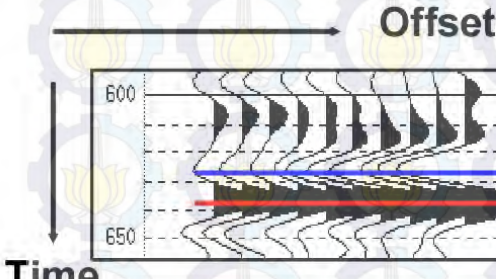
$$R(\theta) = A + B \sin^2 \theta$$

(Aki & Richard, 1980), (Shuey, 1985)

TINJAUAN PUSTAKA

AVO

The pick amplitudes are extracted at all times, two of which are shown.

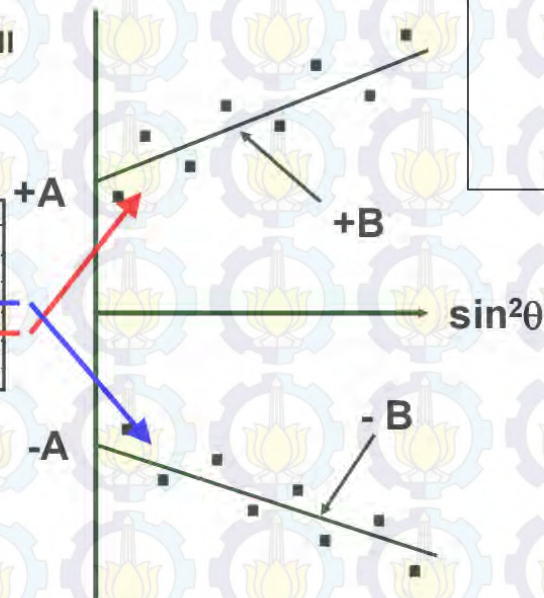


Time

The Aki-Richards equation predicts a linear relationship between these amplitudes and $\sin^2\theta$.

Regression curves are then calculated, to give A and B values for each time sample.

(Goodway, 2001)



$$R(\theta) = A + B \sin^2 \theta \quad (1)$$

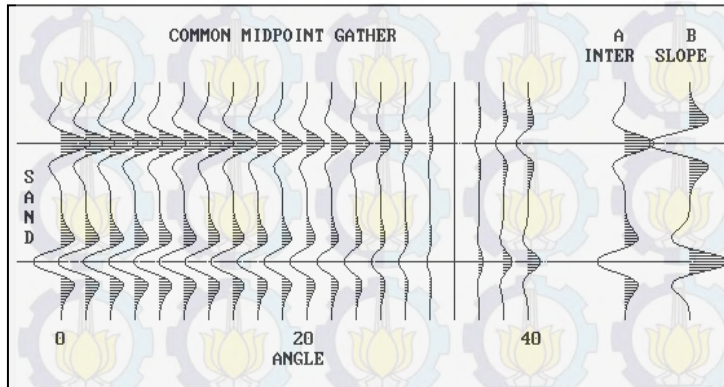
dimana:

$$A = \frac{1}{2} \left[\frac{\Delta V_p}{V_p} + \frac{\Delta \rho}{\rho} \right] \quad (2)$$

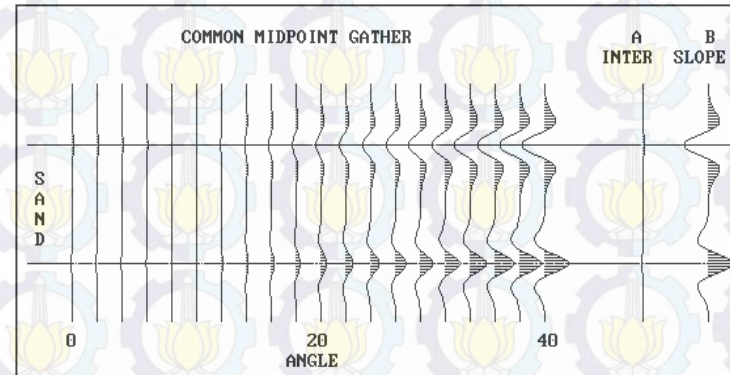
$$B = \frac{1}{2} \frac{\Delta V_p}{V_p} - 4 \left[\frac{V_s}{V_p} \right]^2 \frac{\Delta V_s}{V_s} - 2 \left[\frac{V_s}{V_p} \right]^2 \frac{\Delta \rho}{\rho} \quad (3)$$

Contoh fenomena AVO

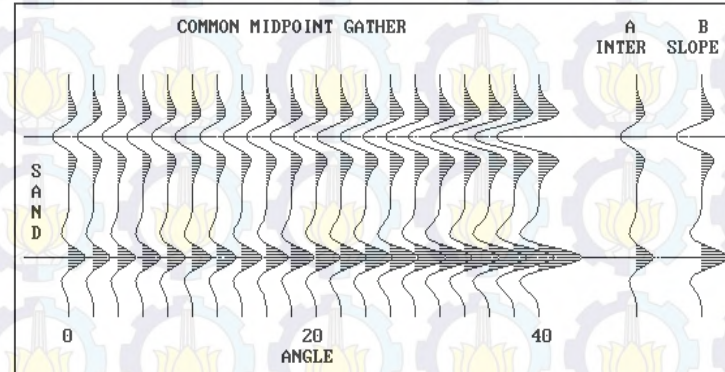
AVO Kelas I



AVO Kelas II



AVO Kelas III



(Rutherford dkkl, 1989)

Atribut Seismik

Atribut seismik merupakan transformasi matematis dari data trace seismik, yang digunakan sebagai alat bantu dalam interpretasi data seismik

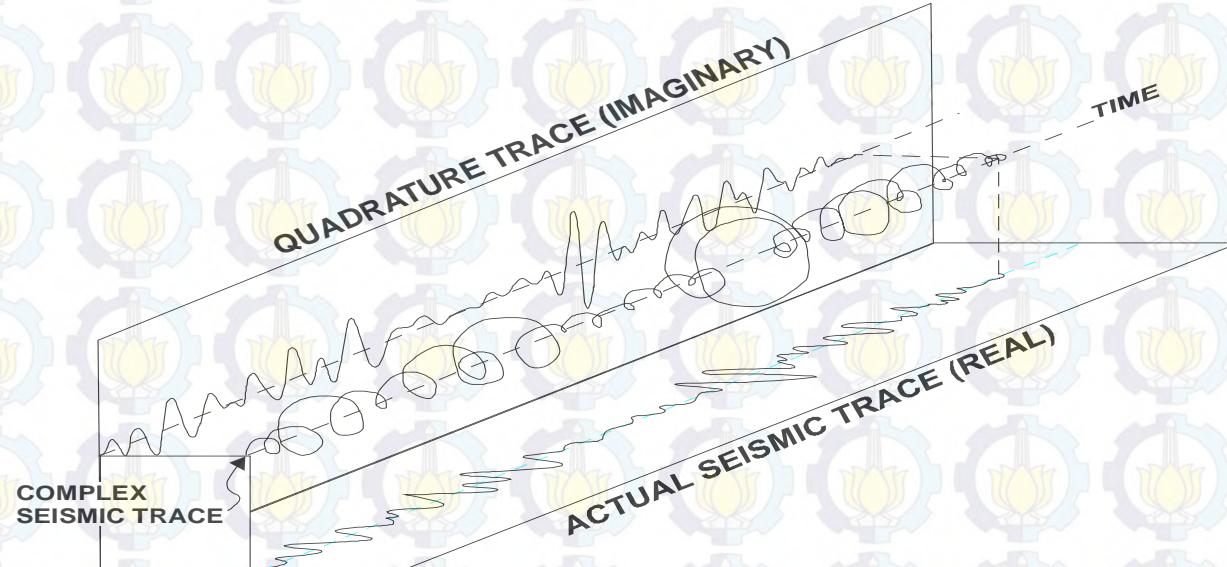


Diagram trace seismik real dan imajiner

Atribut Seismik

Instantaneous Frequency:

$$\omega(t) = d\theta(t) / dt$$

Instantaneous phase:

$$\theta = \tan^{-1} \left[\frac{f(t)}{h(t)} \right]$$

Dimana,

$f(t)$ = Trace seismik real

$h(t)$ = Trace seismik imajiner

Envelope

$$At = (f(t)^2 + h(t)^2)^{1/2}$$

Sweetness:

$$sweetness = \frac{[Amp. envelope]}{\sqrt{Inst. Frequency}}$$

OUTLINE

PENDAHULUAN

GEOLOGI REGIONAL

TINJAUAN PUSTAKA

METODOLOGI

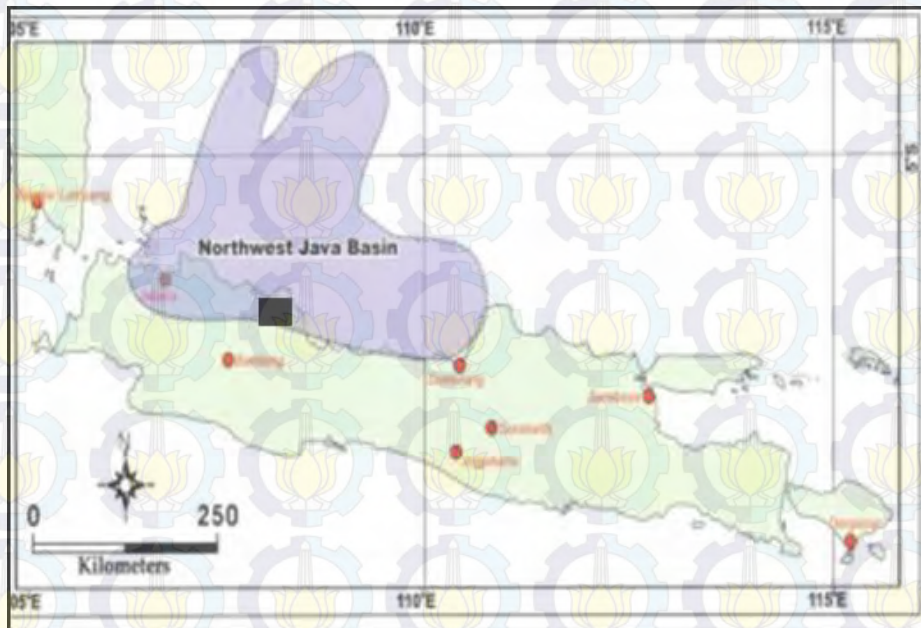
HASIL DAN
PEMBAHASAN

KESIMPULAN

METODOLOGI

Lokasi Penelitian

Peta cekungan Jawa Barat bagian Utara



Data Seismik

Data seismik CDP Gather inline : 4286-4288 , xline : 10577-11657

Data Sumur

Sumur Tole_1, Data sumur Vertikal

Pengolahan data

Interactive Petrophysics 3.5

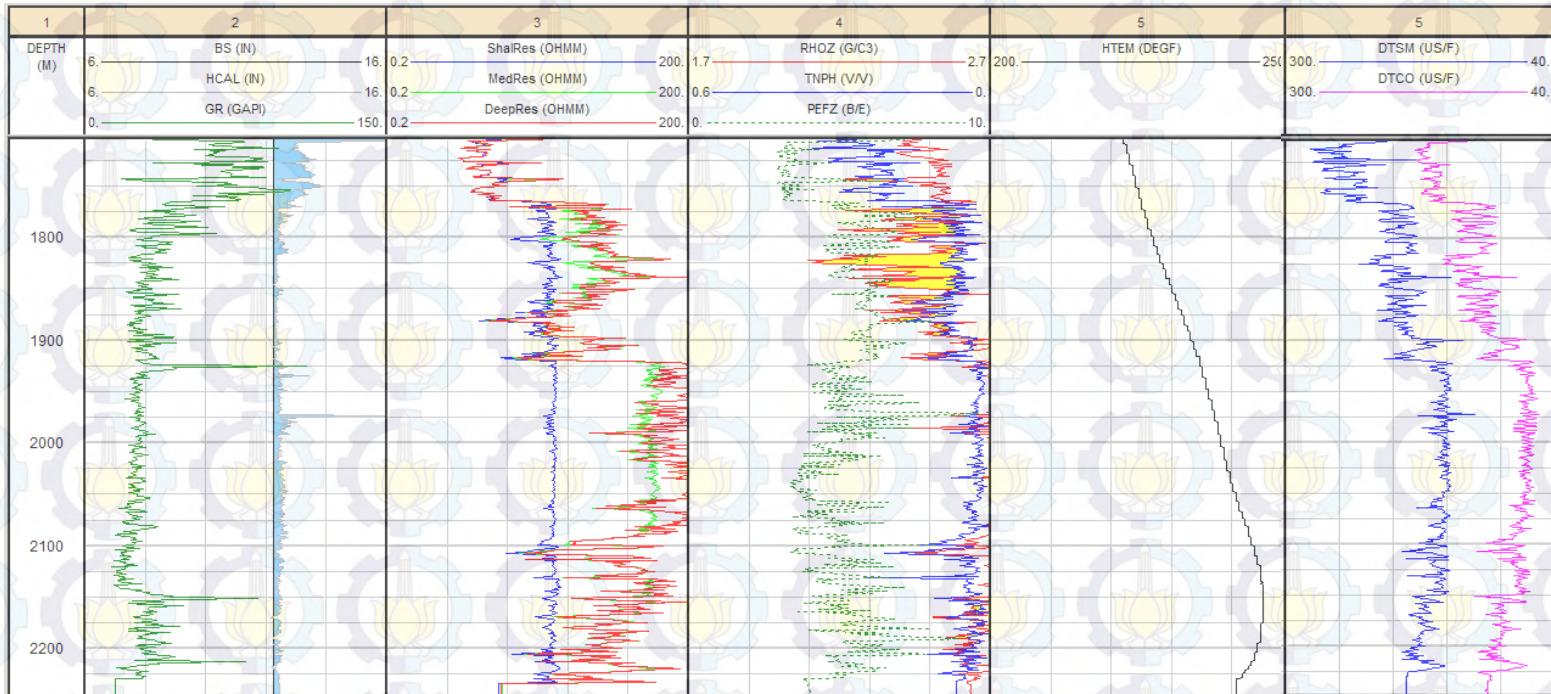
Hampson Russell 9

METODOLOGI

Data Sumur

Data Sumur Tole_1

Kedalaman 1760 m – 2200 m

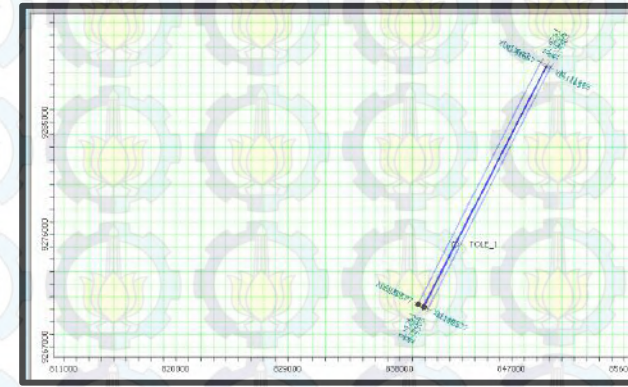


Caliper	Gamma Ray	RHOZ	TPHI	Deep Resistivity	Shallow Resistivity	Medium Resistivity	Vp	Vs	SP	Temp
ada	ada	ada	ada	ada	ada	ada	ada	ada	ada	ada

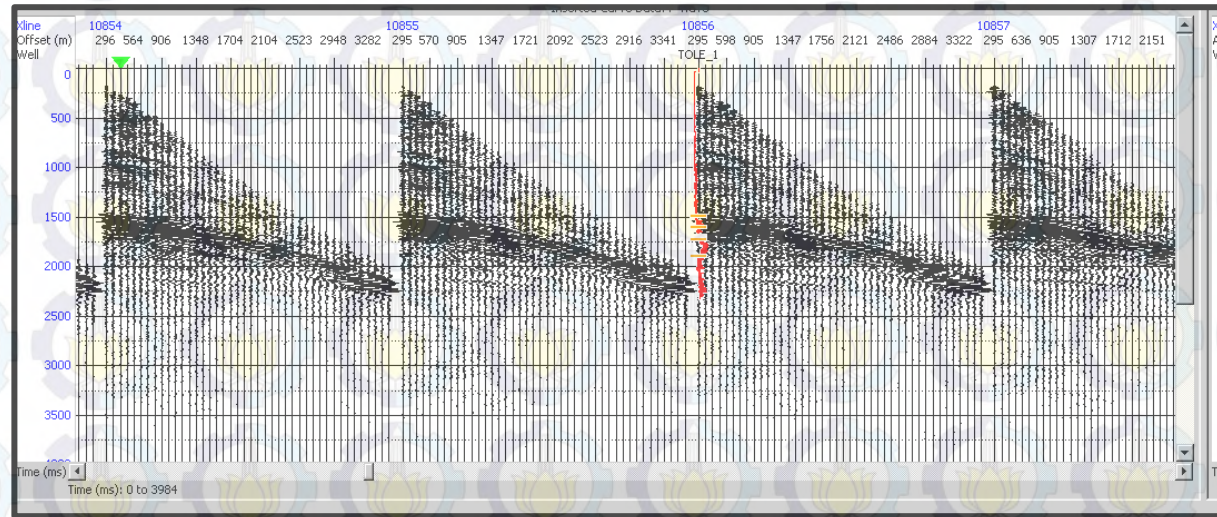
METODOLOGI

Data seismik

Base Map



Data Gather



Data 3D Gather

NMO

Bandpass Filter

Trim Static

INVEST

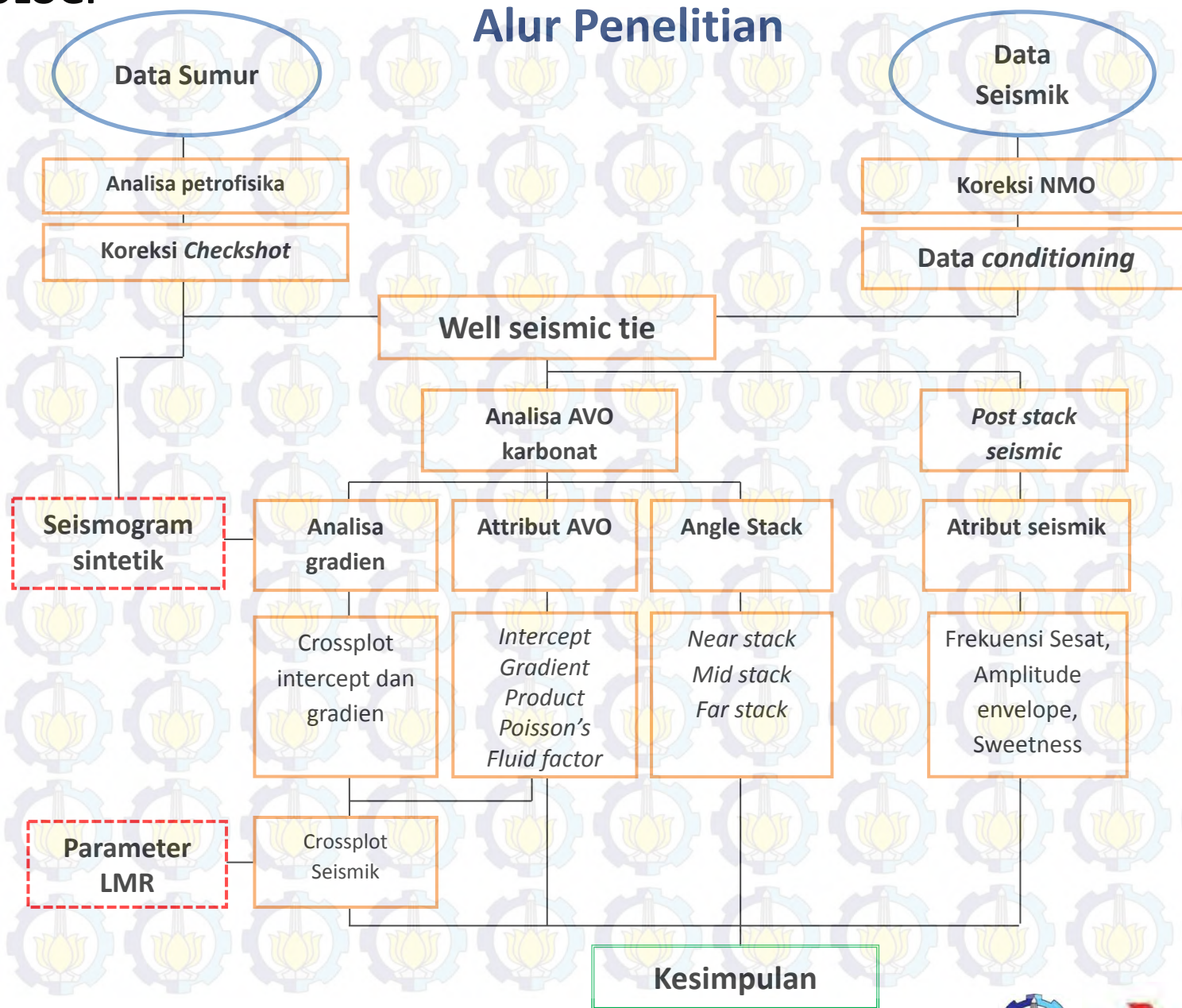
Mute

Super Gather

Trim Static

Angle Gather

Alur Penelitian



OUTLINE

PENDAHULUAN

GEOLOGI REGIONAL

TINJAUAN PUSTAKA

METODOLOGI

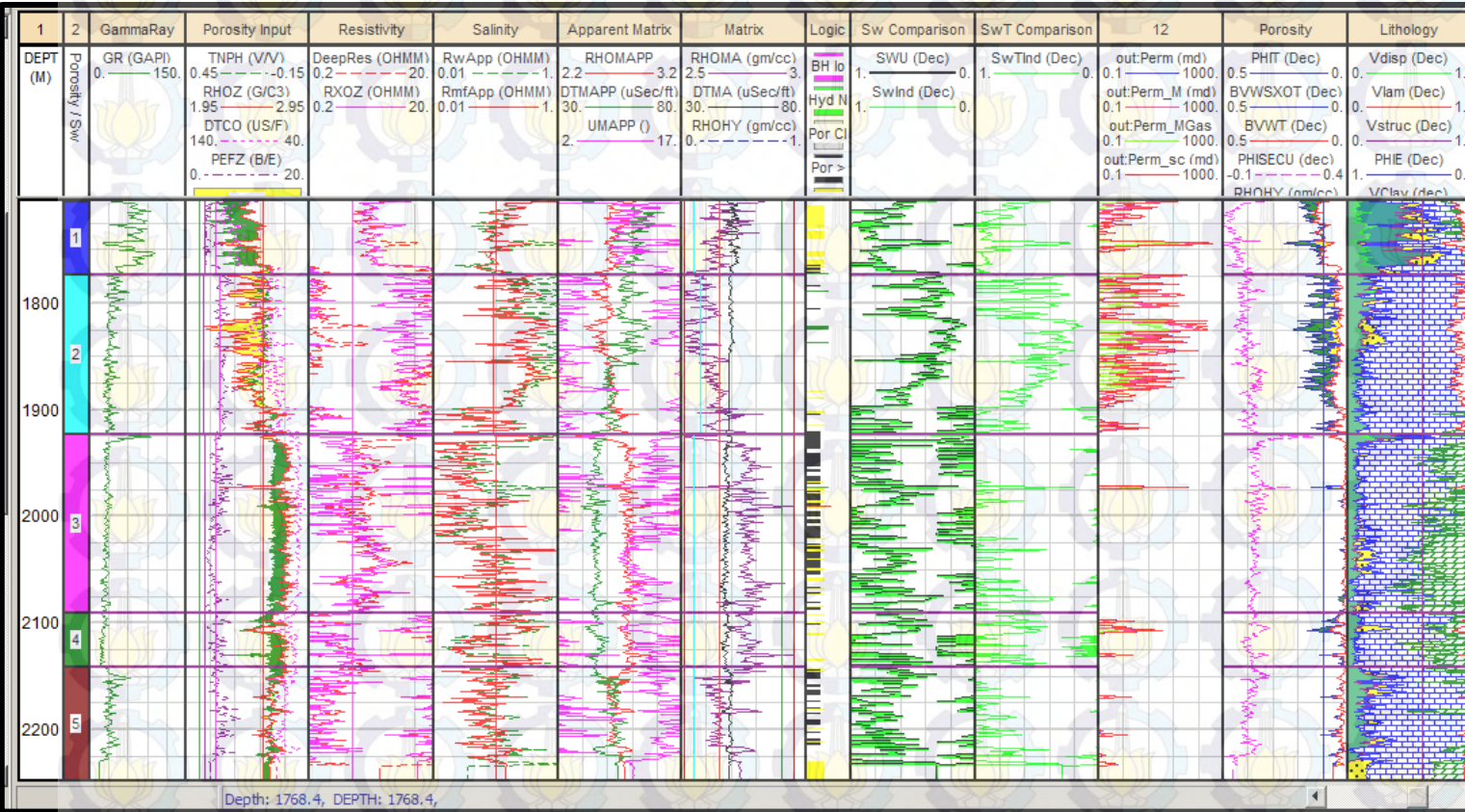
HASIL DAN
PEMBAHASAN

KESIMPULAN

HASIL DAN PEMBAHASAN

Analisa Data Sumur

Kedalaman 1705 m – 2248 m



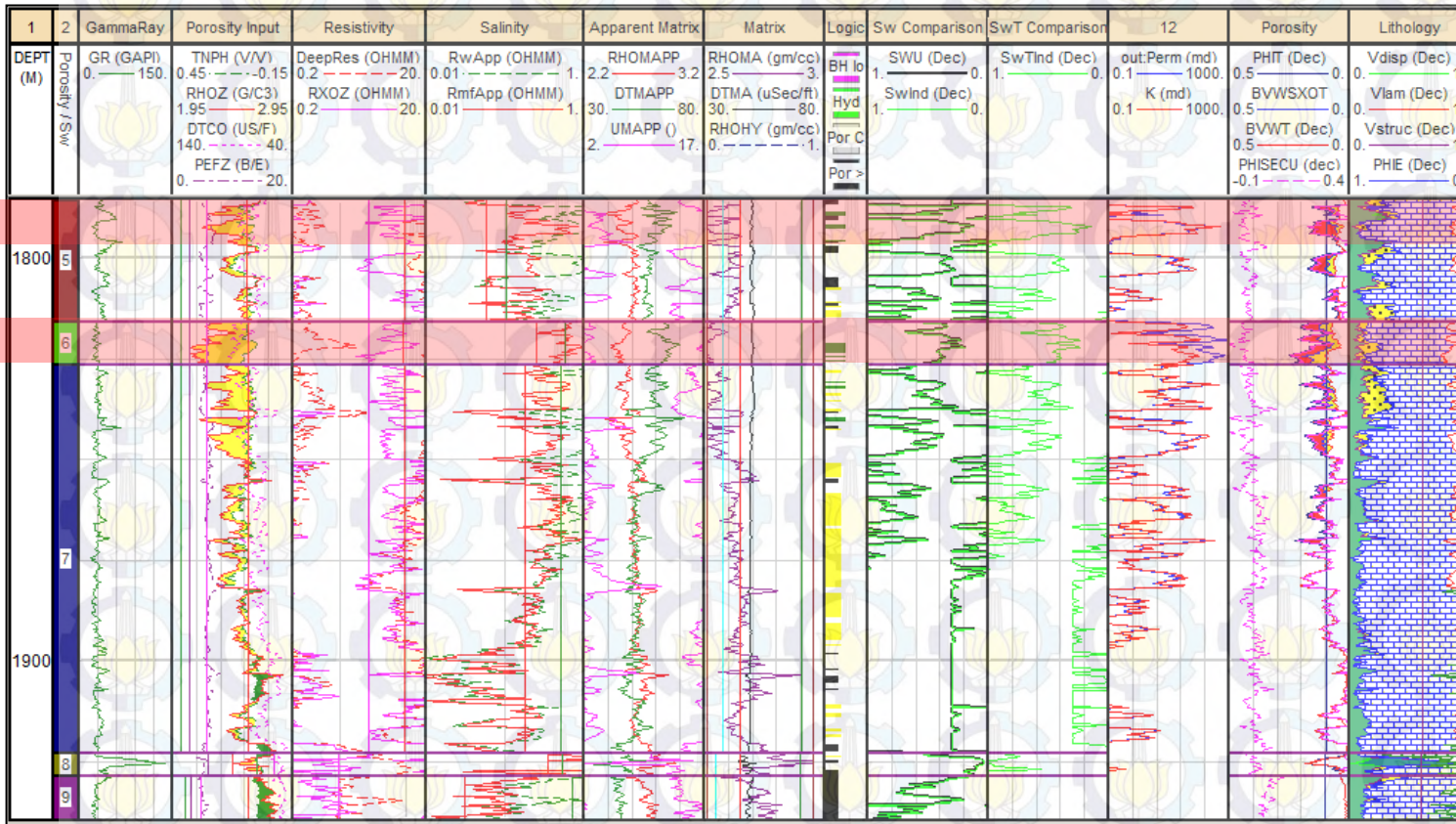
Formasi
Cibulan atas

Formasi
Baturaja

HASIL DAN PEMBAHASAN

Analisa Data Sumur

Kedalaman 1784 m – 1940 m



HASIL DAN PEMBAHASAN

Contoh Perhitungan parameter fisika batuan

Kedalaman zona reservoir

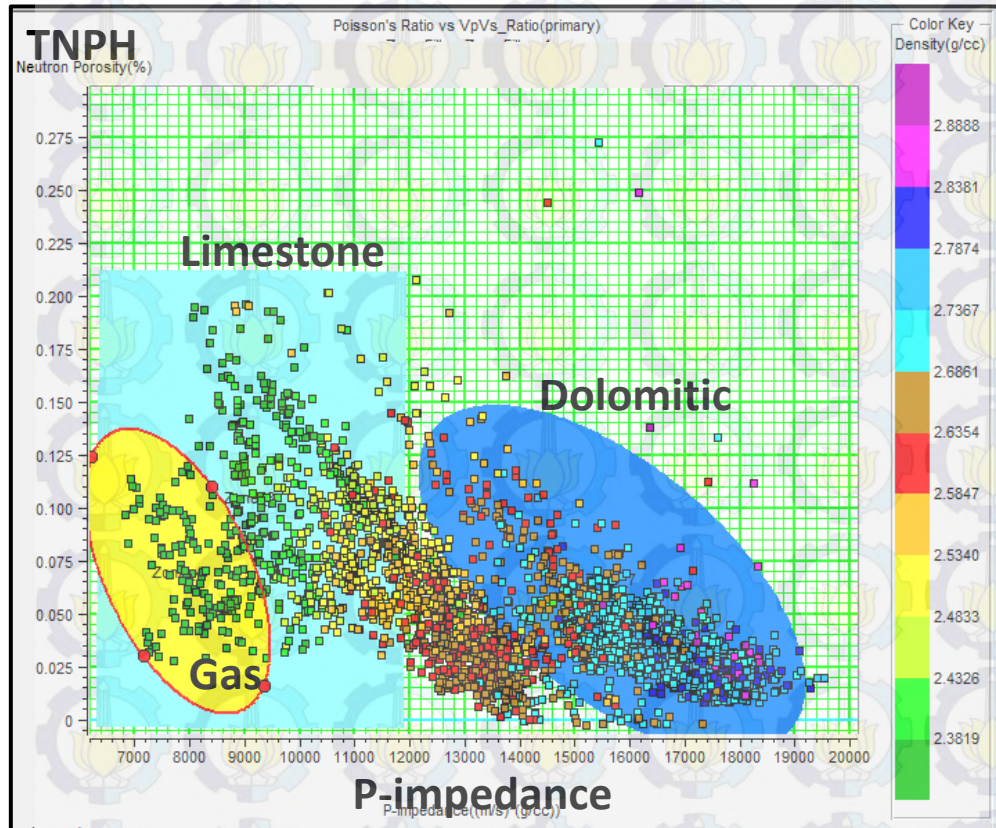
depth	CAL	GR	RHOZ	TNPH	LLD	LLS	RXO	V_clay	PHI_T	PHI_E	SW	SH	K	PR	ZP	ZS	LR	MR
m	in	API	g/cc	v/v	ohmm	ohmm	ohmm	%	%	%	%	%	mD	unit	ft/s*g/cc	ft/s*g/cc	Gpa/cc	Gpa/cc
1790.7	12.3881	39.5812	2.3998	0.0899	13.0479	10.6431	5.4896	0.185	0.1177	0.0945	0.3063	0.6937	2.8343	0.2709	29216.4	16377.9	29.46	24.92
1790.852	12.4212	31.0676	2.3828	0.1115	9.3921	8.2113	4.6746	0.115	0.1431	0.1286	0.2773	0.7227	13.4164	0.2608	28538.37	16233.4	26.7	24.48
1791.005	12.4322	27.0152	2.3849	0.125	9.2183	8.1113	4.565	0.082	0.1489	0.1386	0.263	0.737	20.7668	0.2853	28904.24	15841.93	30.99	23.32
1791.157	12.4102	26.9235	2.4002	0.121	12.6582	10.6542	5.2695	0.081	0.1403	0.1301	0.2388	0.7612	19.0441	0.2546	29755.86	17073.86	28.09	27.08
1791.31	12.4102	27.6401	2.3907	0.0931	20.4191	15.7041	6.6773	0.087	0.1378	0.1268	0.1923	0.8077	26.2885	0.2534	29993.6	17238.17	28.36	27.61
1791.462	12.3881	27.8769	2.3646	0.0824	24.5879	16.6639	7.0006	0.089	0.1382	0.127	0.1749	0.8251	31.9502	0.2525	29651.09	17061.01	27.6	27.04
1791.614	12.4102	26.7843	2.3275	0.0619	32.0857	18.2402	7.4883	0.091	0.1422	0.1321	0.1478	0.8522	53.3306	0.2465	28586.03	16579.88	24.84	25.54
1791.767	12.3991	28.1436	2.294	0.047	42.4482	21.9066	8.2703	0.101	0.1428	0.1313	0.1288	0.8712	68.393	0.2415	27622.54	16125.77	22.57	24.16
1791.919	12.3881	29.3278	2.2751	0.0422	52.8025	28.1327	9.1549	0.069	0.1275	0.1147	0.1311	0.8689	36.3826	0.2435	26979.46	15710.82	21.76	22.93
1792.072	12.4102	25.4583	2.2396	0.0416	61.7642	37.0174	10.006	0.023	0.1539	0.1452	0.0973	0.9027	185.9126	0.2538	26528.35	15237.47	22.24	21.57
1792.224	12.3881	19.8163	2.2121	0.0416	65.9499	45.1625	9.841	0.019	0.1715	0.1686	0.0822	0.9178	503.5465	0.2626	25825.91	14652.77	22.07	19.95
1792.376	12.3881	19.3426	2.1927	0.0423	53.9226	41.952	9.634	0.045	0.1715	0.169	0.0908	0.9092	417.3697	0.2634	25831.69	14639.11	22.17	19.91
1792.529	12.3881	22.5015	2.1965	0.0409	42.6892	34.4439	9.1403	0.101	0.1581	0.1524	0.1124	0.8876	172.7532	0.2737	26502.65	14793.26	24.59	20.33
1792.681	12.3991	29.3891	2.2147	0.0472	37.0995	30.0856	9.0813	0.107	0.132	0.1192	0.1506	0.8494	32.6174	0.2801	26997.8	14920.88	26.35	20.68
1792.834	12.3881	30.0996	2.2444	0.0493	33.5338	26.7772	8.8425	0.105	0.1345	0.121	0.1558	0.8442	32.5602	0.2579	27950.22	15963.77	25.23	23.68
1792.986	12.3881	29.8468	2.2816	0.056	33.3362	25.0748	8.8604	0.091	0.1526	0.1394	0.1364	0.8636	79.0901	0.2598	28558.95	16269.6	26.59	24.59
1793.138	12.3881	28.1702	2.3096	0.0531	33.346	24.033	8.7127	0.070	0.148	0.1365	0.1398	0.8602	68.6285	0.2583	28822.95	16453.94	26.88	25.15
1793.291	12.4102	25.5647	2.3196	0.0529	36.8601	25.9532	8.7128	0.075	0.1441	0.1353	0.135	0.865	70.7838	0.2468	28450	16494.9	24.64	25.28
1793.443	12.4102	26.1875	2.3062	0.0506	32.9725	24.2916	8.341	0.050	0.1496	0.1402	0.1377	0.8623	79.6666	0.2419	28107.36	16399.22	23.43	24.98
1793.596	12.4212	23.1083	2.2962	0.0598	25.6697	19.3486	7.7609	0.054	0.16	0.1537	0.1435	0.8565	109.8523	0.2713	27903.28	15632.16	26.93	22.7
1793.748	12.4322	23.582	2.2986	0.0709	17.8142	13.885	7.0632	0.033	0.1636	0.1568	0.1688	0.8312	86.8011	0.2739	27777.34	15499.97	27.04	22.32
1793.9	12.4322	21.091	2.32	0.0954	10.9786	8.9769	5.3226	0.054	0.1646	0.1604	0.2114	0.7886	61.0609	0.291	28552.54	15502.54	31.08	22.33
1794.053	12.4102	23.6965	2.3583	0.1165	8.3462	7.0214	4.5196	0.084	0.1562	0.1493	0.2586	0.7414	29.829	0.3052	29867.02	15815.17	36.4	23.24
1794.205	12.4322	27.2493	2.4258	0.1185	8.773	7.3168	4.6664	0.094	0.131	0.1204	0.3086	0.6914	8.123	0.3126	31768.28	16588.68	42.63	25.57
1794.358	12.4102	28.4948	2.4787	0.1027	11.9101	9.5932	5.5238	0.088	0.1037	0.0918	0.3427	0.6573	2.0007	0.3083	33145.1	17449.18	45.49	28.29

HASIL DAN PEMBAHASAN

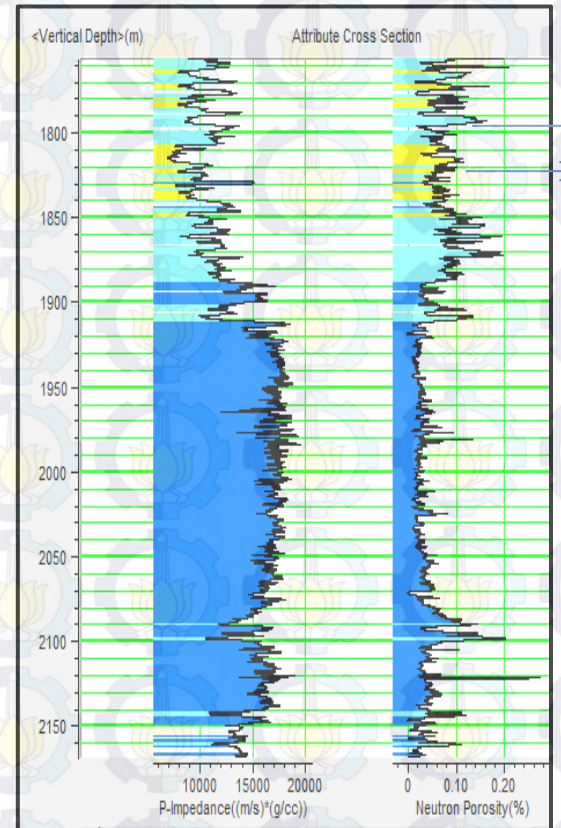
Analisa Fisika Batuan

P-impedance vs Porositas neutron

Crossplot



Cross section



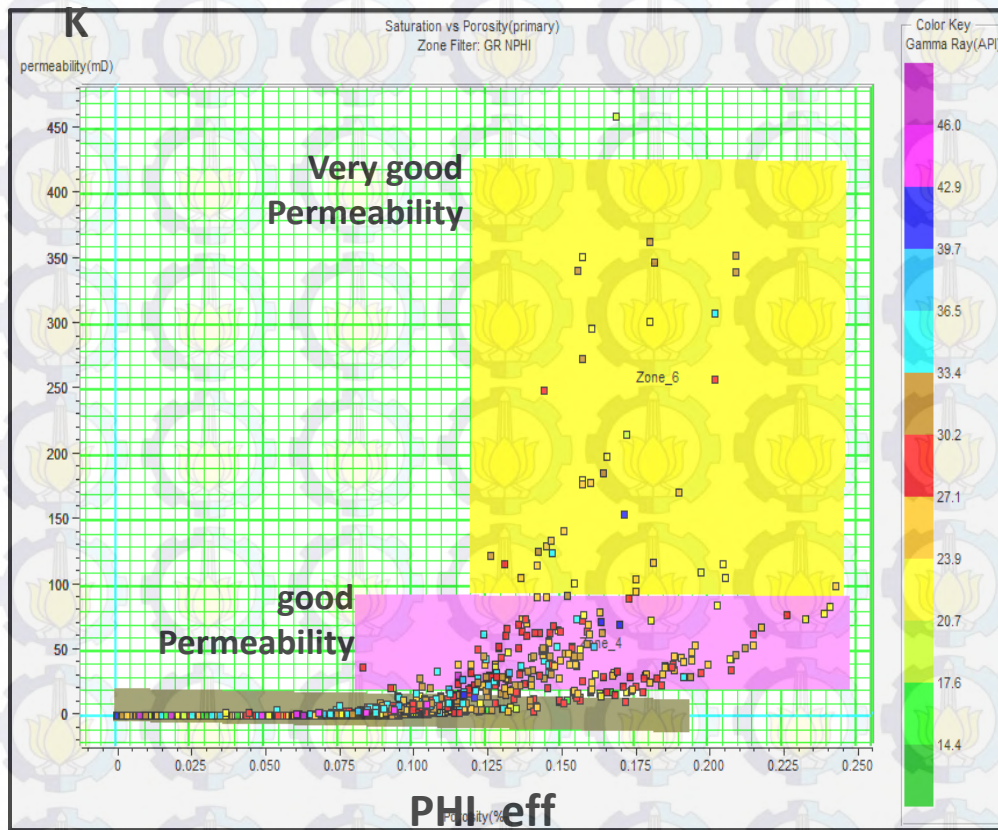
DST 2
DST 1

HASIL DAN PEMBAHASAN

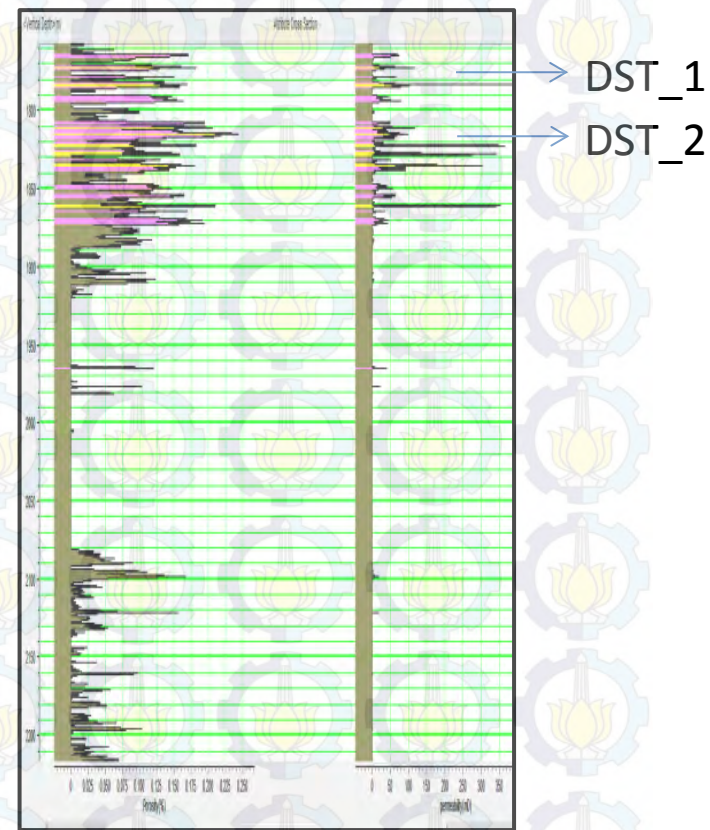
Analisa Fisika Batuan

Permeabilitas vs Porositas efektif

Crossplot



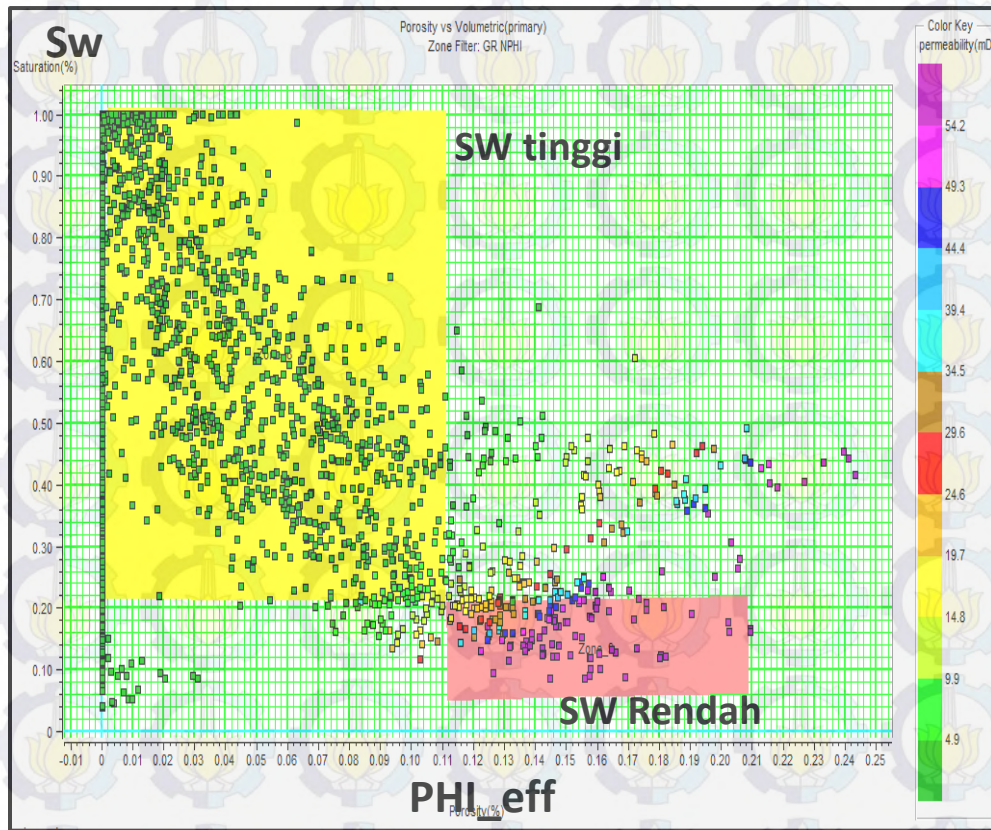
Cross section



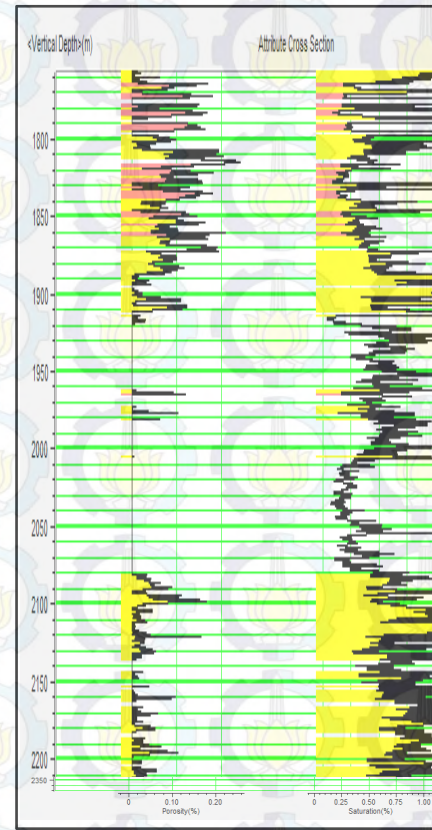
Analisa Fisika Batuan

Saturasi air vs Porositas efektif

Crossplot



Cross section

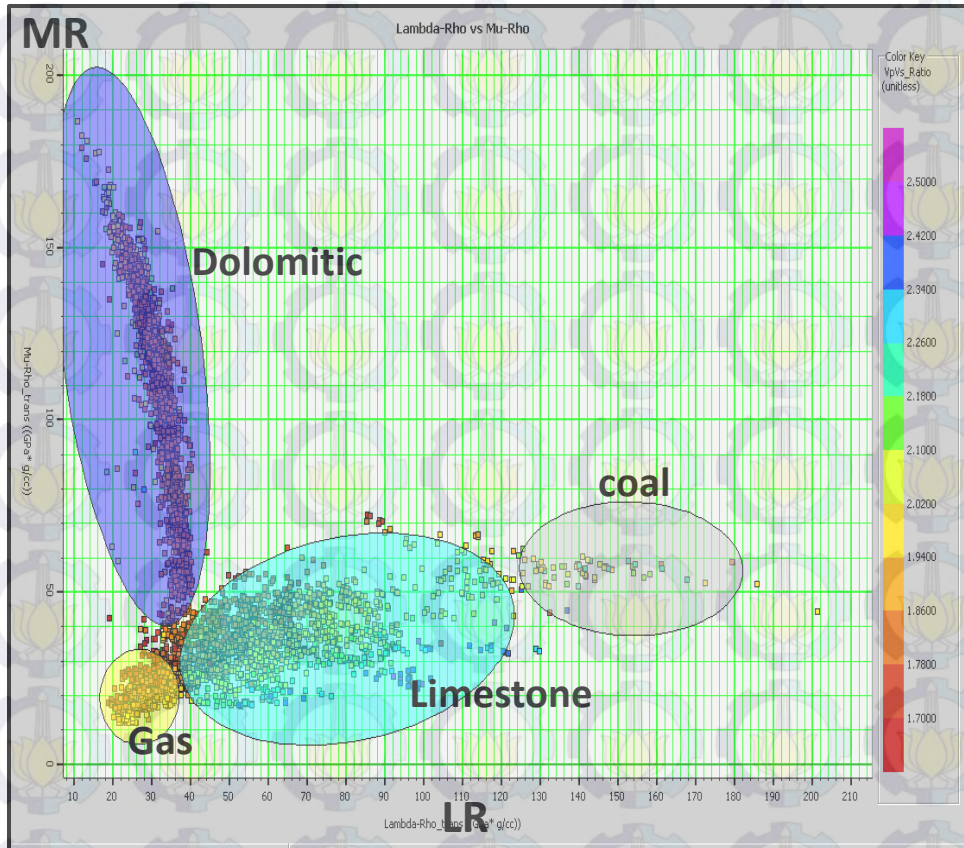


HASIL DAN PEMBAHASAN

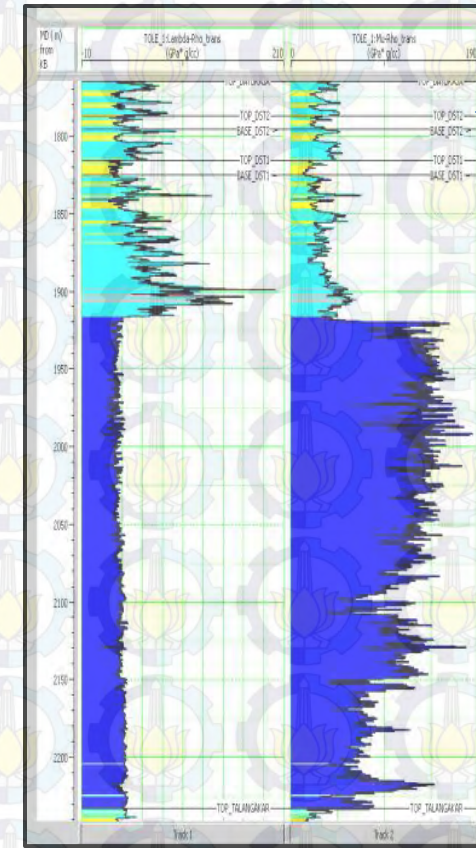
Analisa Fisika Batuan

Mu-Rho vs Lambda-Rho

Crossplot



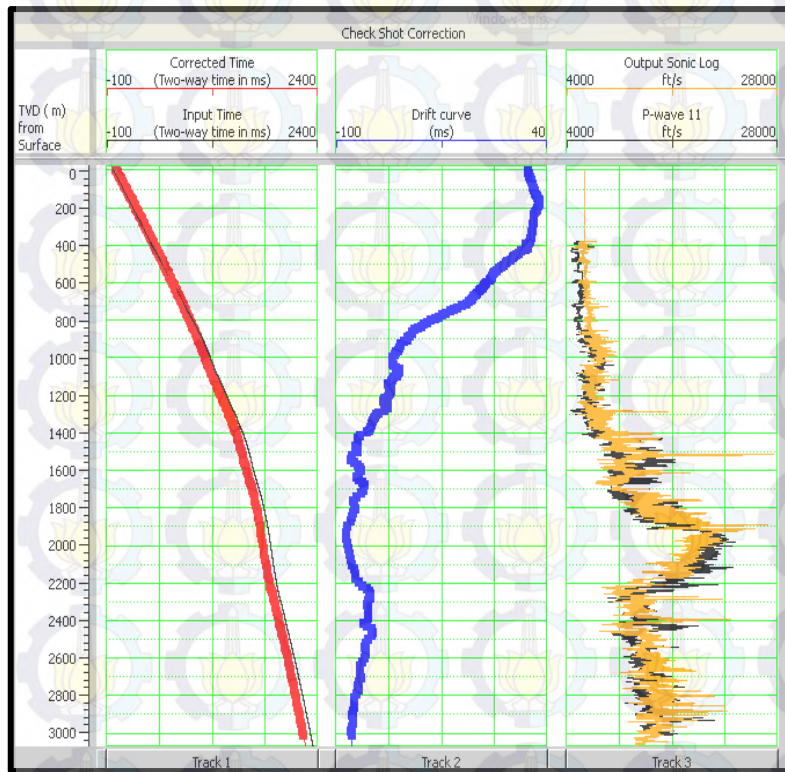
Cross section



HASIL DAN PEMBAHASAN

Koreksi Checkshot

Digunakan untuk mengoreksi kurva kedalaman pada data log sonik.



Set the Check Shot Parameters

Parameters for interpolating Check Shot points:

Type of Interpolation: Spline

Polynomial Order: 1

Apply a Smoother of Length: 577 m

Check Shot always changes the Depth / Time Curve.
You may (optionally) change the sonic log as well.

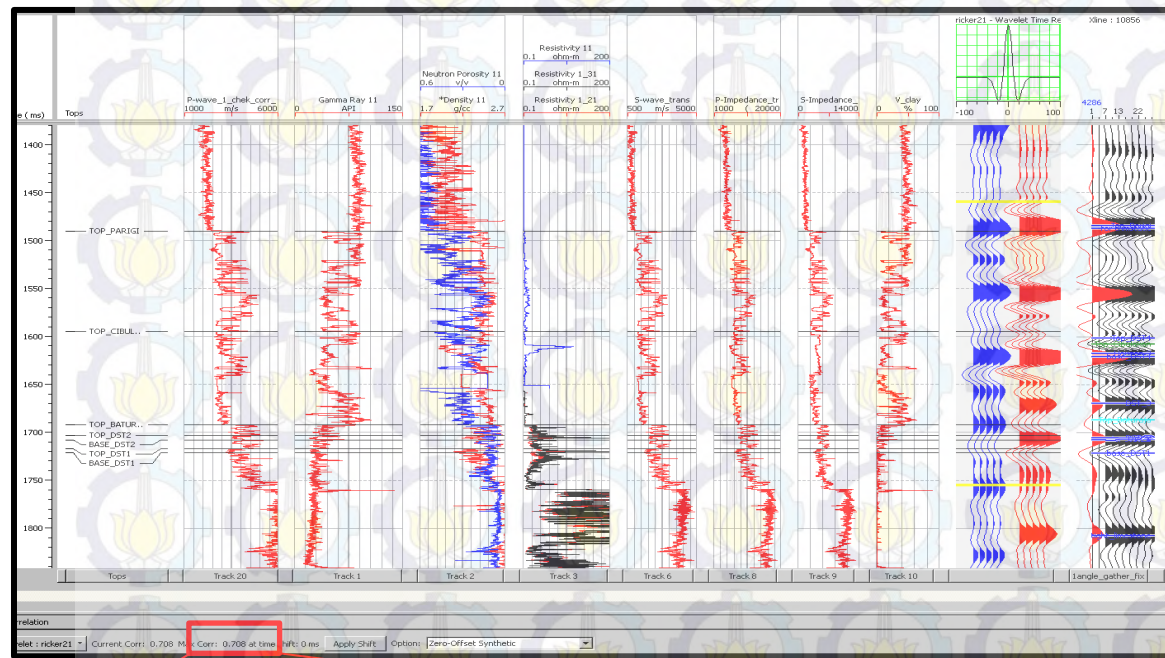
Sonic Log Changes: Change depth-time curve only

HASIL DAN PEMBAHASAN

Well Seismic Tie

Well seismic Tie merupakan proses pengikatan data seismik dengan data sumur..

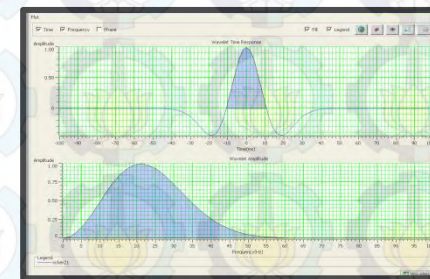
Korelasi



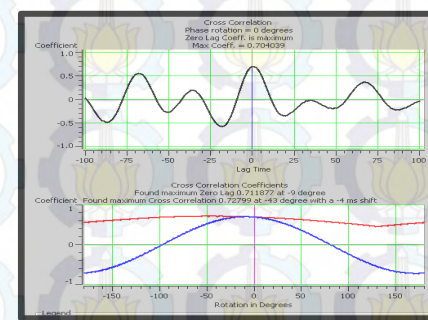
Max Corr: 0.708 at time shift: 0 ms

Window : 1460 ms - 1755 ms
Korelasi : 0.708

Wavelet



Ricker
Frequency 21
Zero phase



Cross
Correlation

HASIL DAN PEMBAHASAN

Conditioning data seismik

Data 3D Gather

NMO

Bandpass Filter

Trim Static

INVEST

Mute

Super Gather

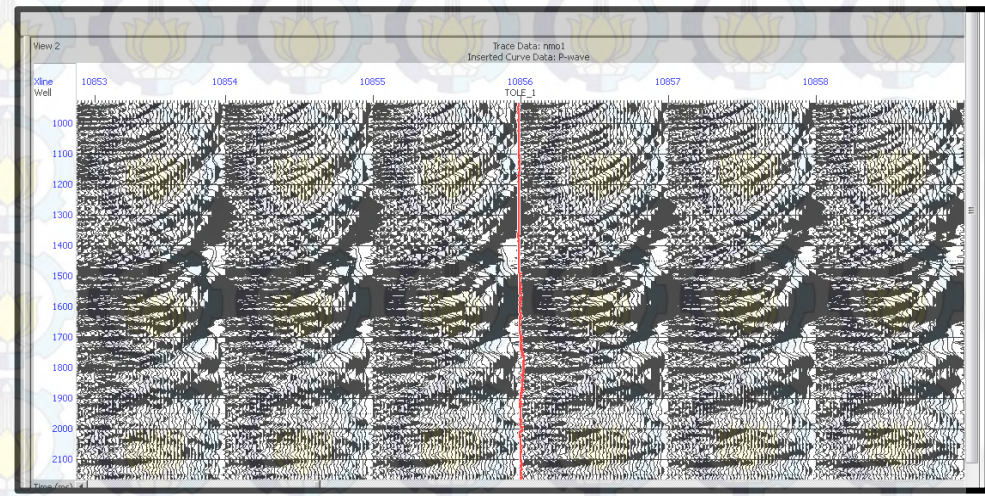
Trim Static

Angle Gather

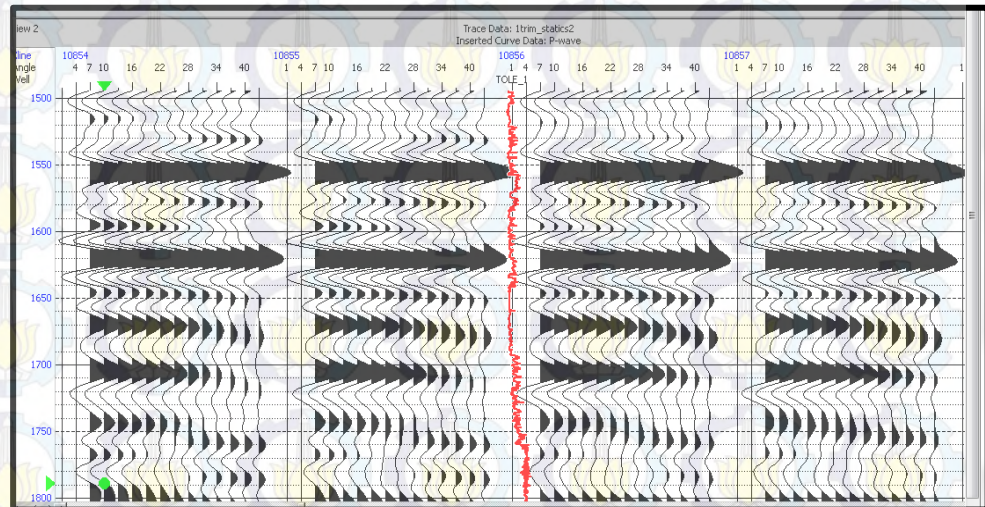
Koreksi NMO

$$t_x = \sqrt{t_0^2 + \frac{x^2}{V_s^2}},$$

Persamaan Dix



Angle Gather
(sudut 0 - 42)

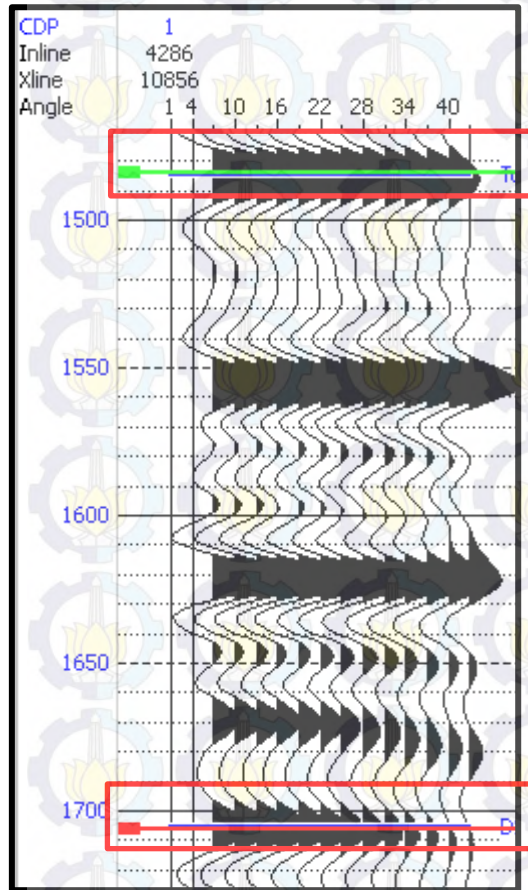


HASIL DAN PEMBAHASAN

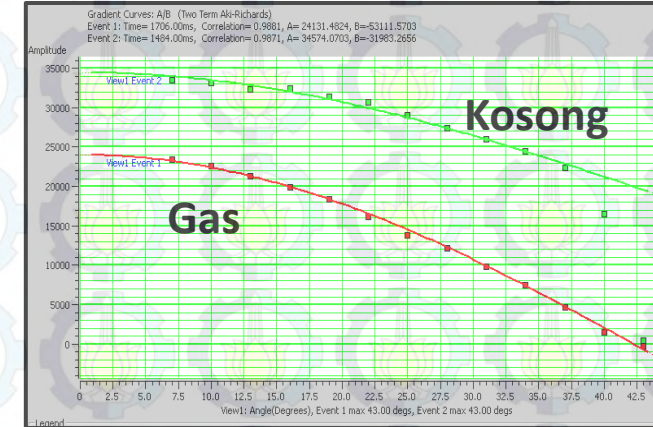
ANALISA GRADIENT AVO

Seismik

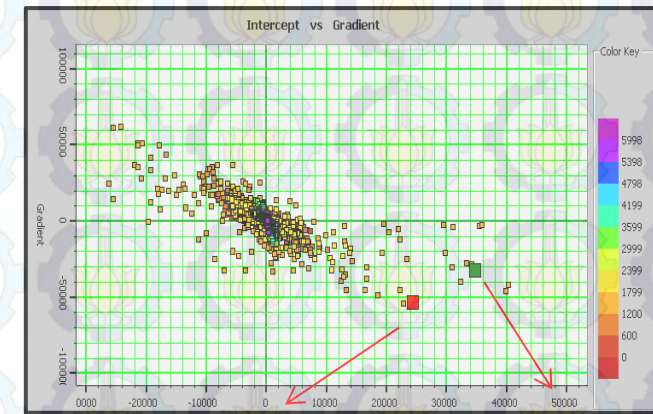
Seismik gather



Amplitudo vs sudut



A vs B

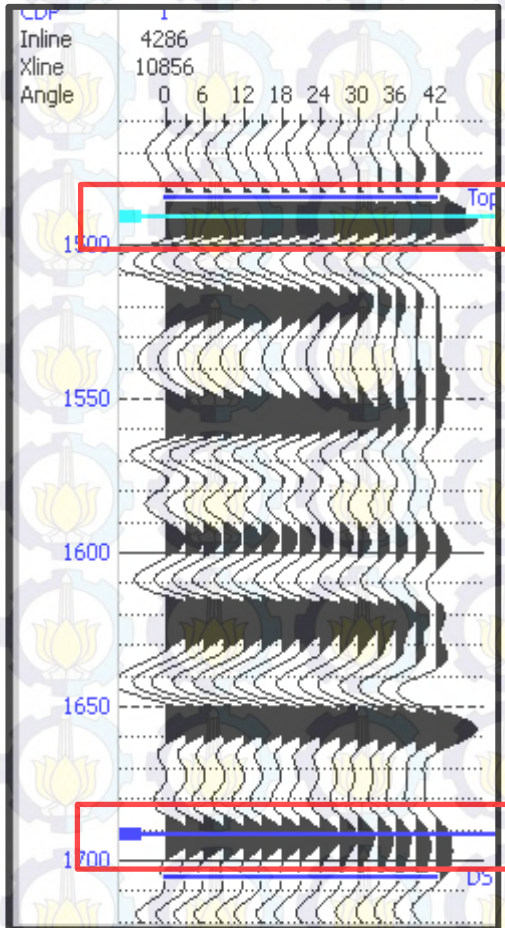


HASIL DAN PEMBAHASAN

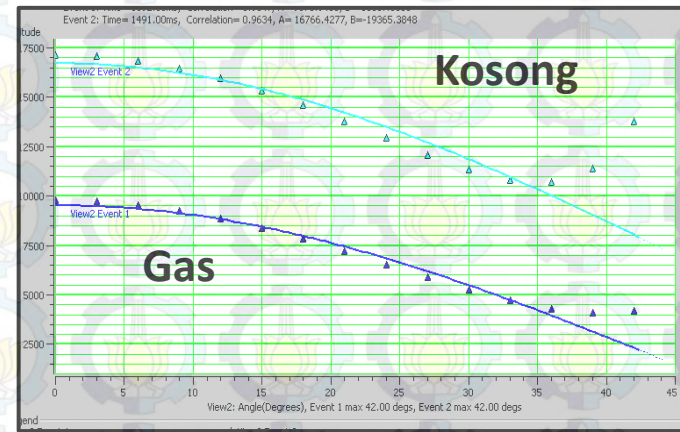
ANALISA GRADIENT AVO

Data sumur

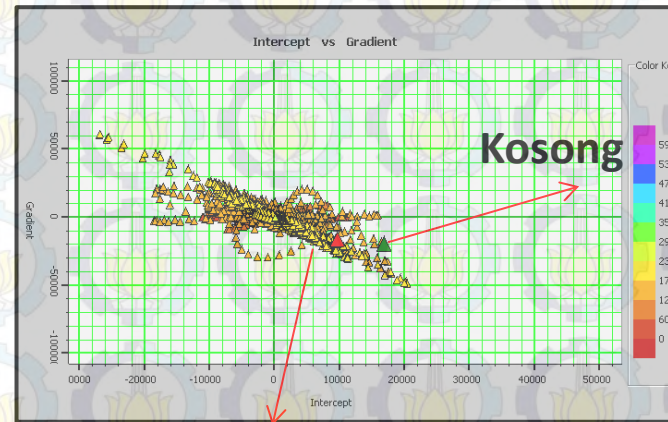
Seismogram sintetik



Amplitudo vs sudut



A vs B



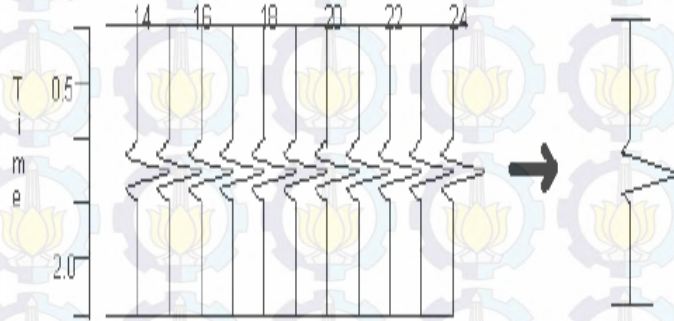
HASIL DAN PEMBAHASAN

ANGLE STACK

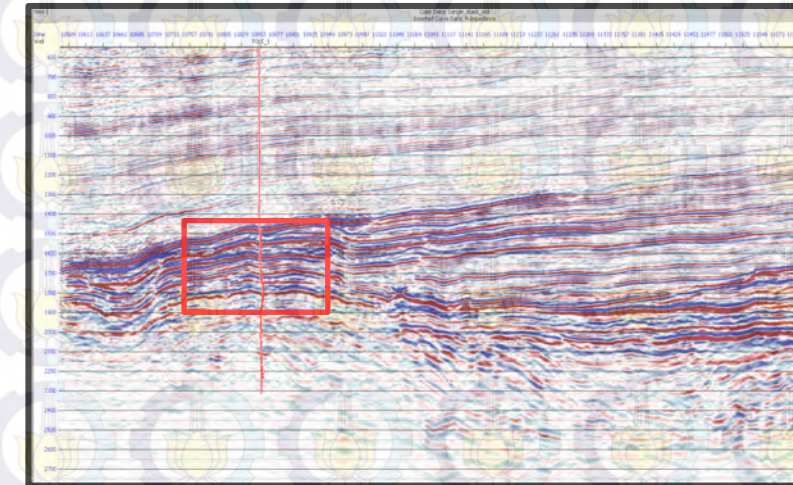
Angle Range Limited Stack

Near Stack (1 - 15)

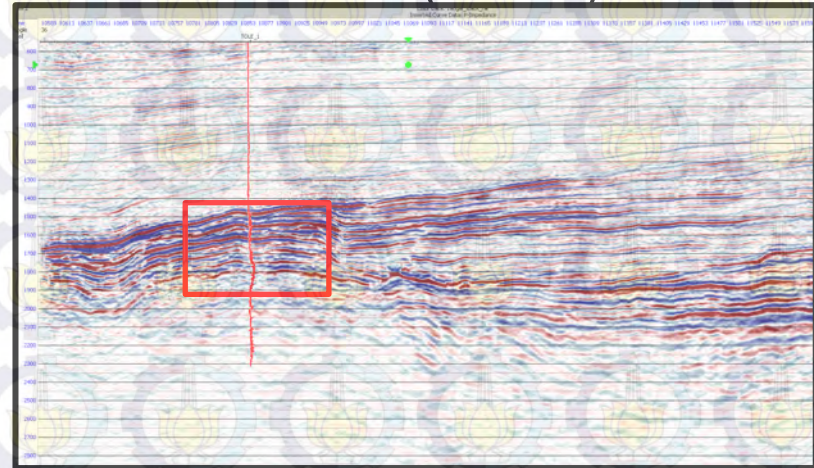
Stack data seismik



Mid Stack (15 - 29)



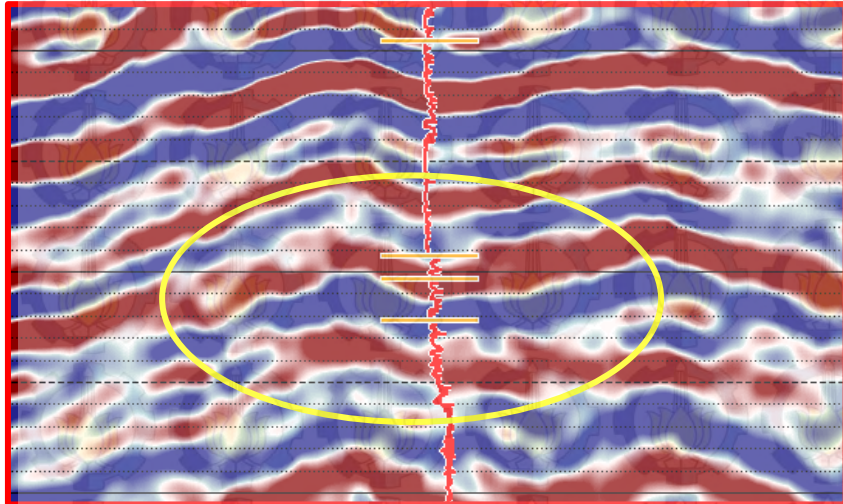
Far Stack (29 - 42)



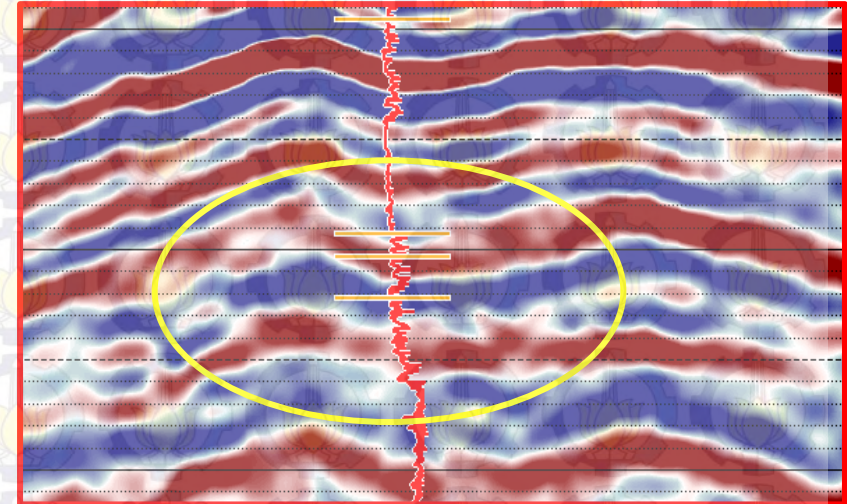
ANGLE STACK

Angle Range Limited Stack

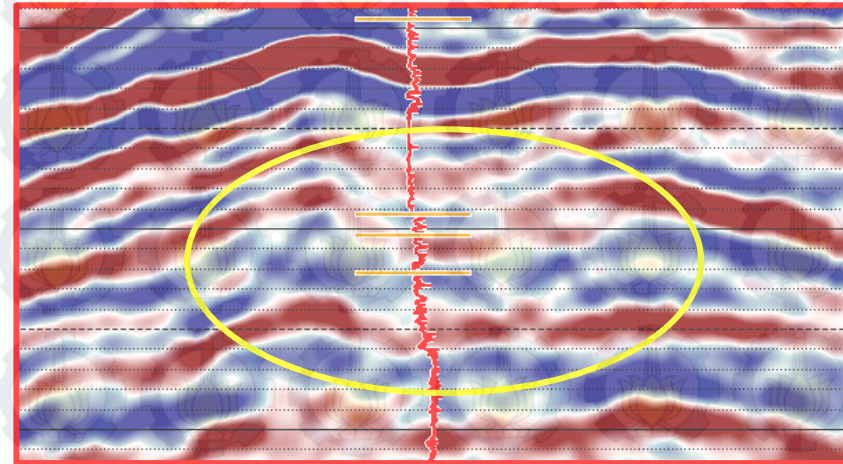
Near Stack (1 - 15)



Mid Stack (15 - 29)

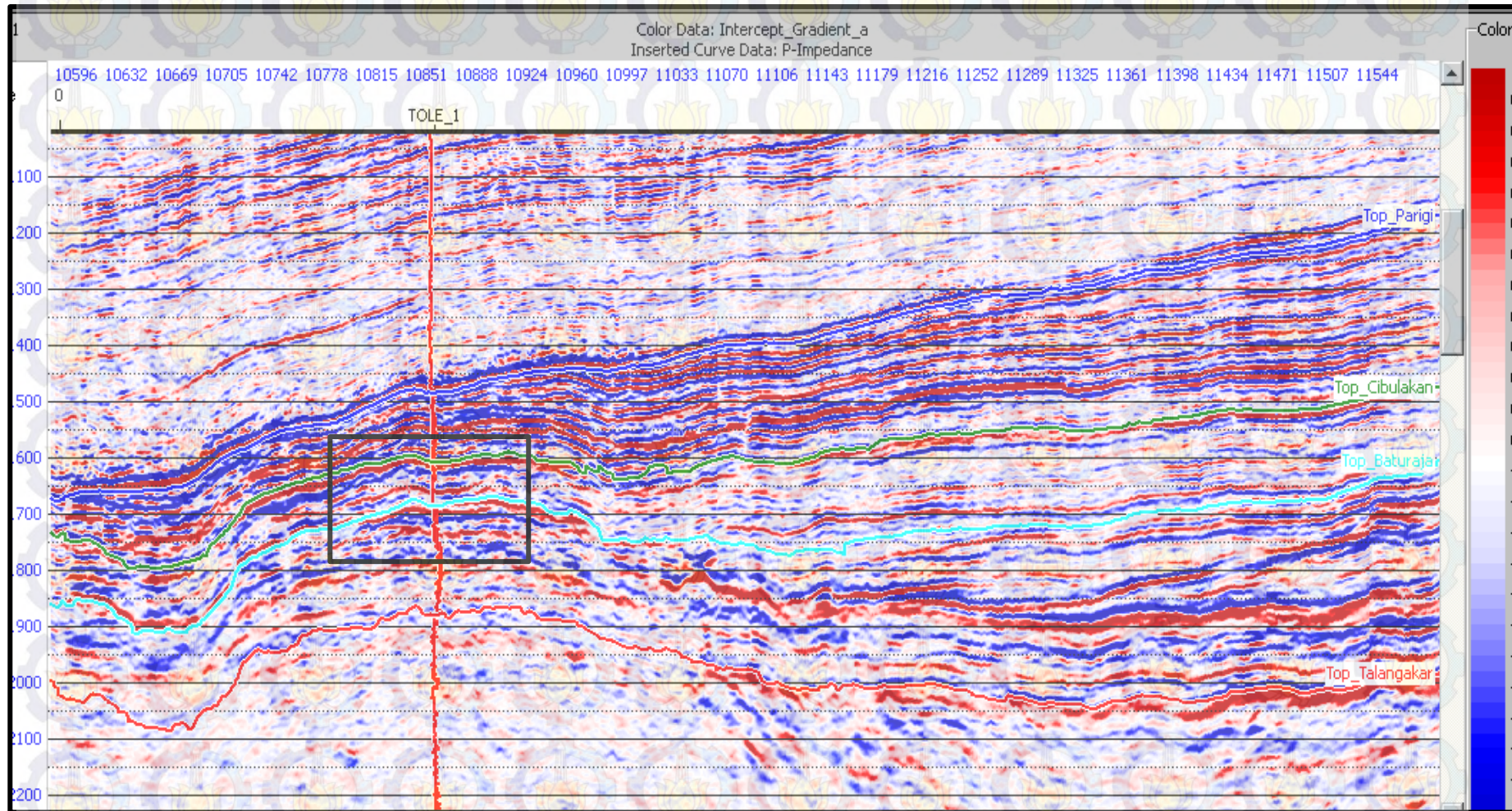


Far Stack (29 - 42)



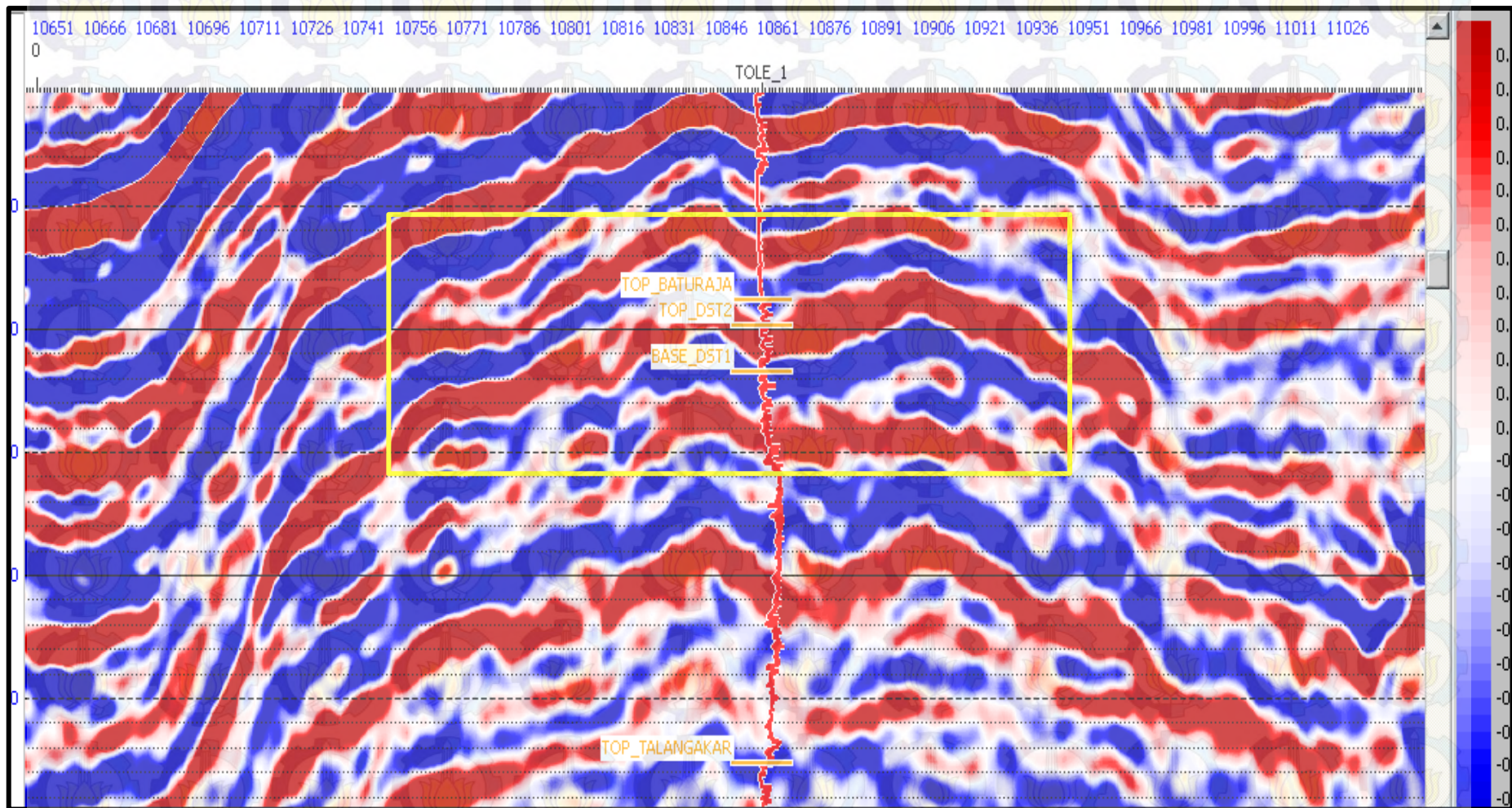
Atribut AVO

Intercept (A)



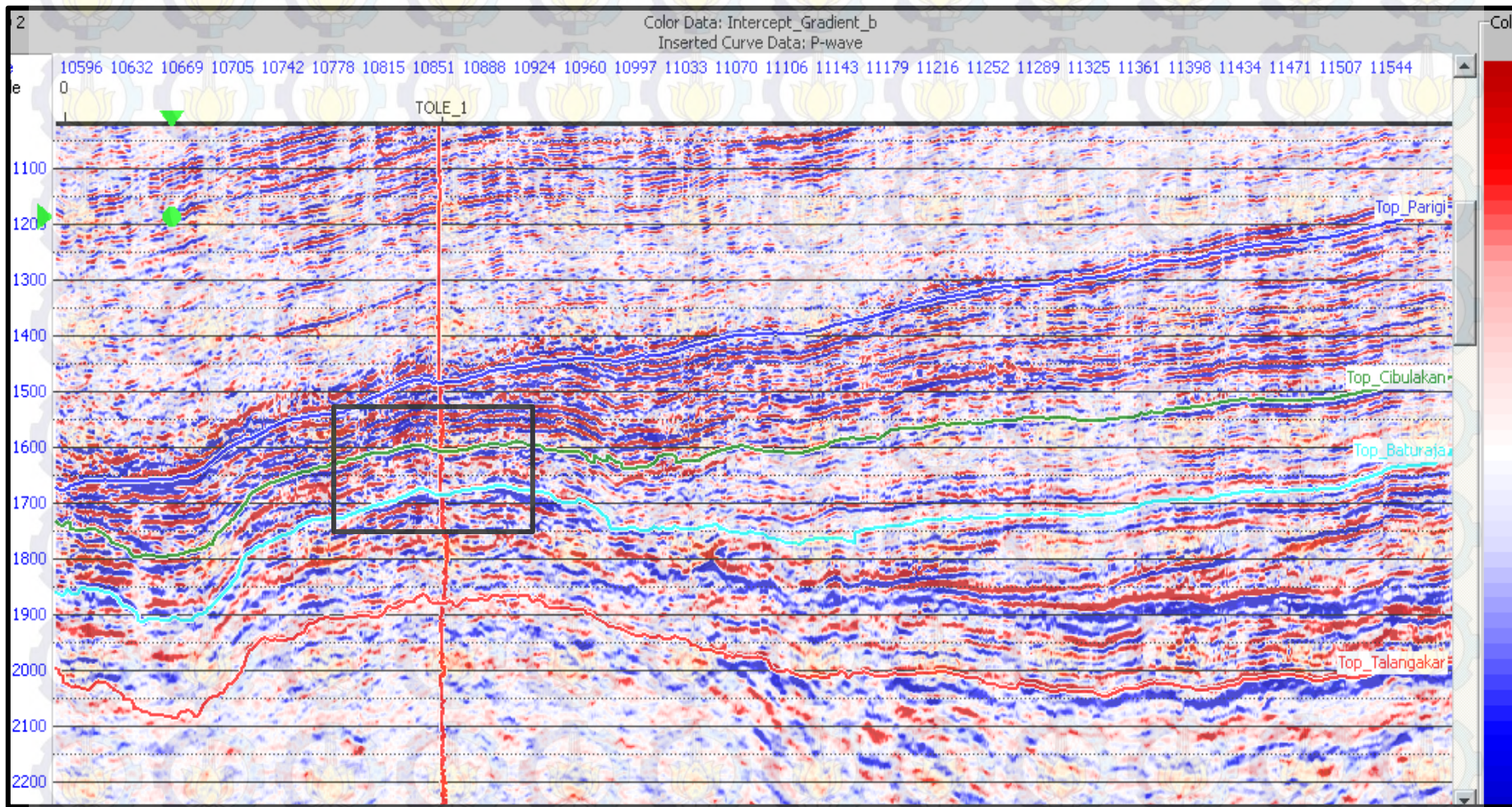
Atribut AVO

Intercept (A)



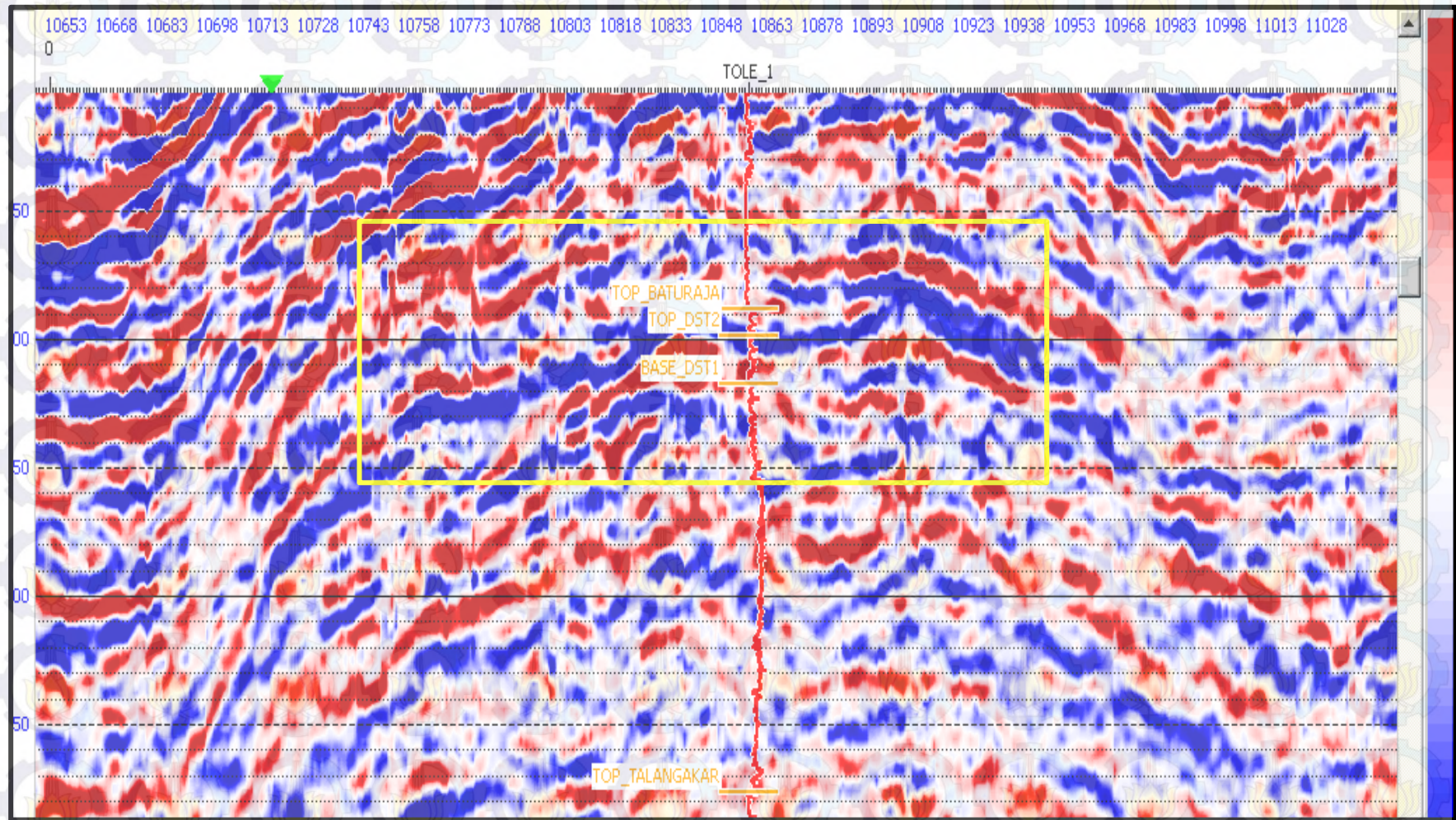
Atribut AVO

Gradient (B)



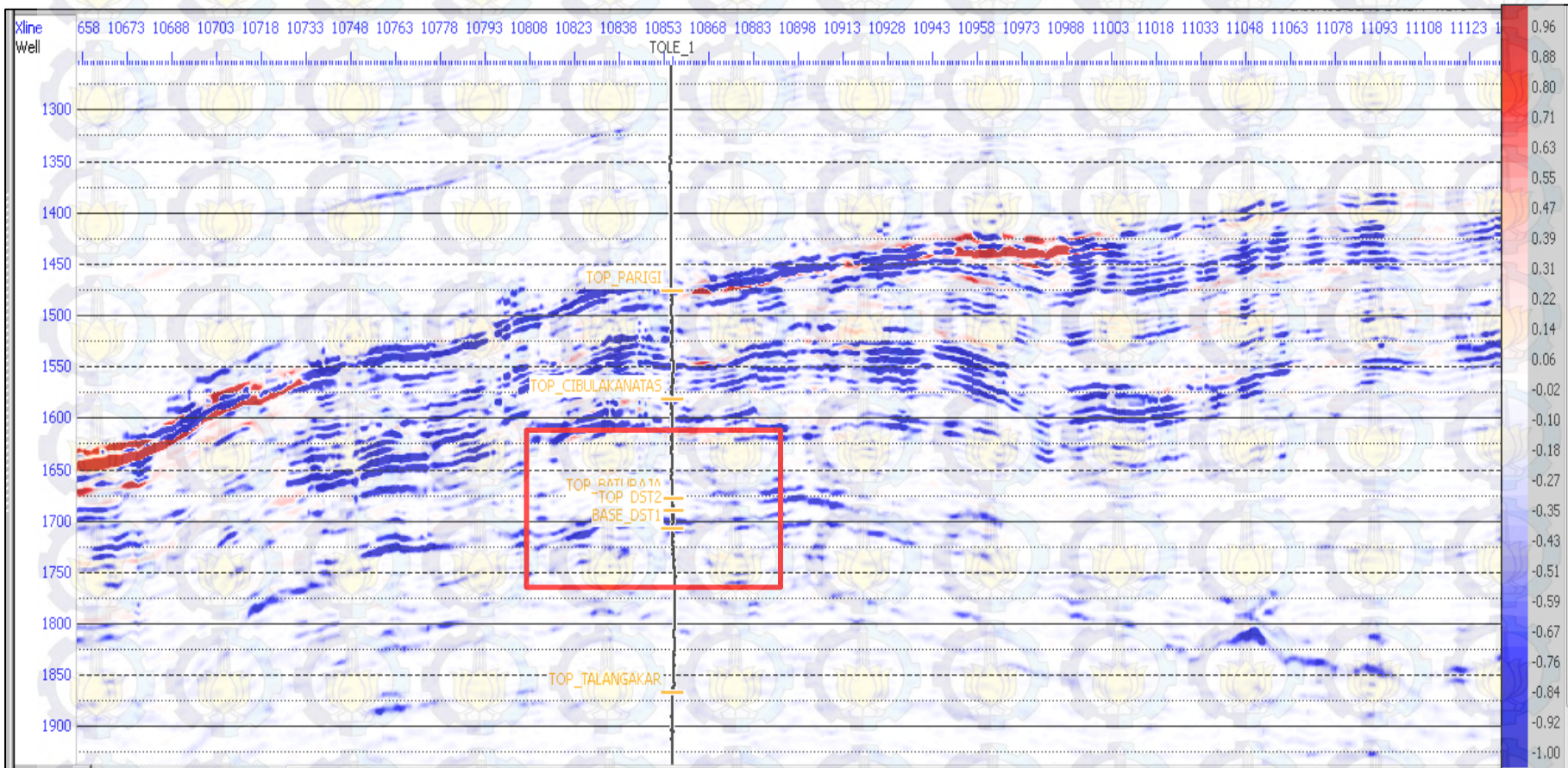
Atribut AVO

Gradient (B)



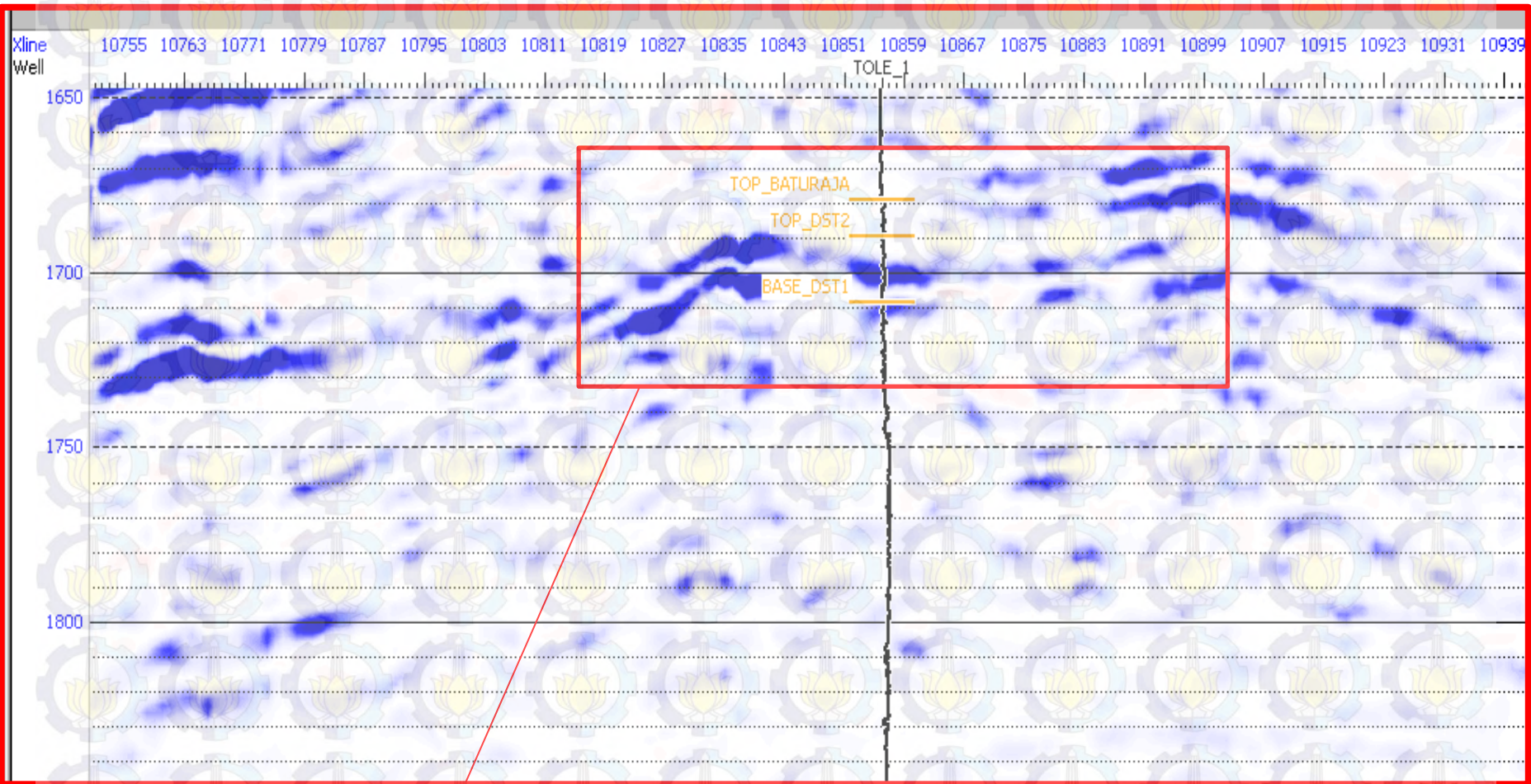
Atribut AVO

Product (A*B)



Atribut AVO

Product (A*B)



$$\text{Intercept (+)} * \text{Gradien (-)} = (-)$$

Atribut AVO

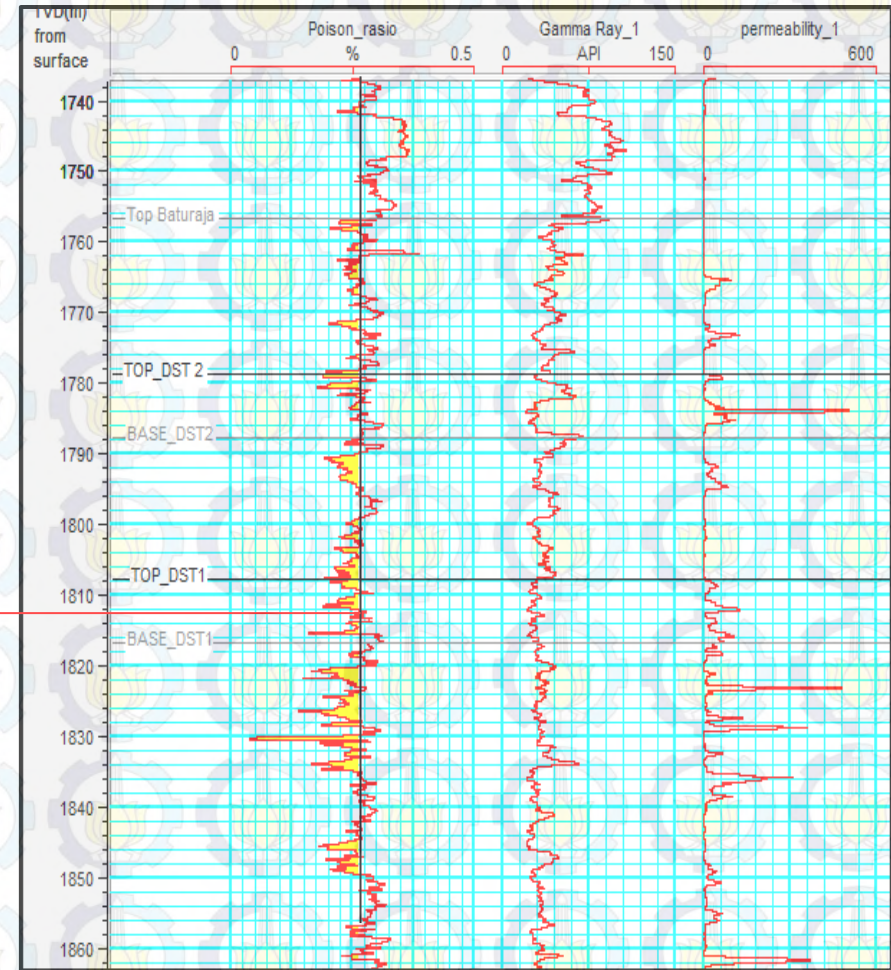
Log Poisson's ratio

Persamaan Poisoin Rasio

$$\sigma = \frac{\gamma^2 - 2}{2\gamma^2 - 2}$$

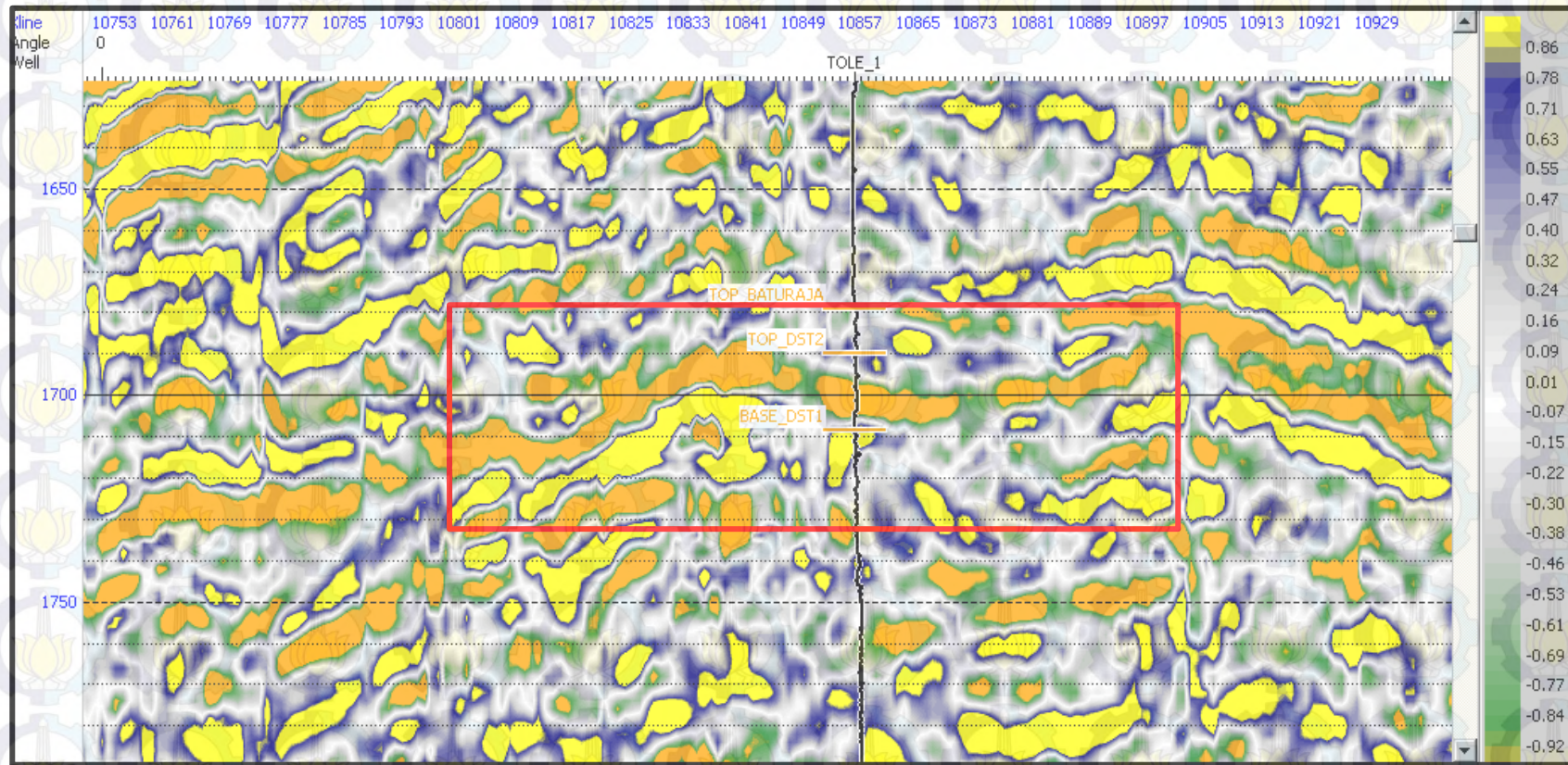
where : $\gamma = \frac{V_p}{V_s}$

Digunakan cut off
Poisson's ratio 2.6



Atribut AVO

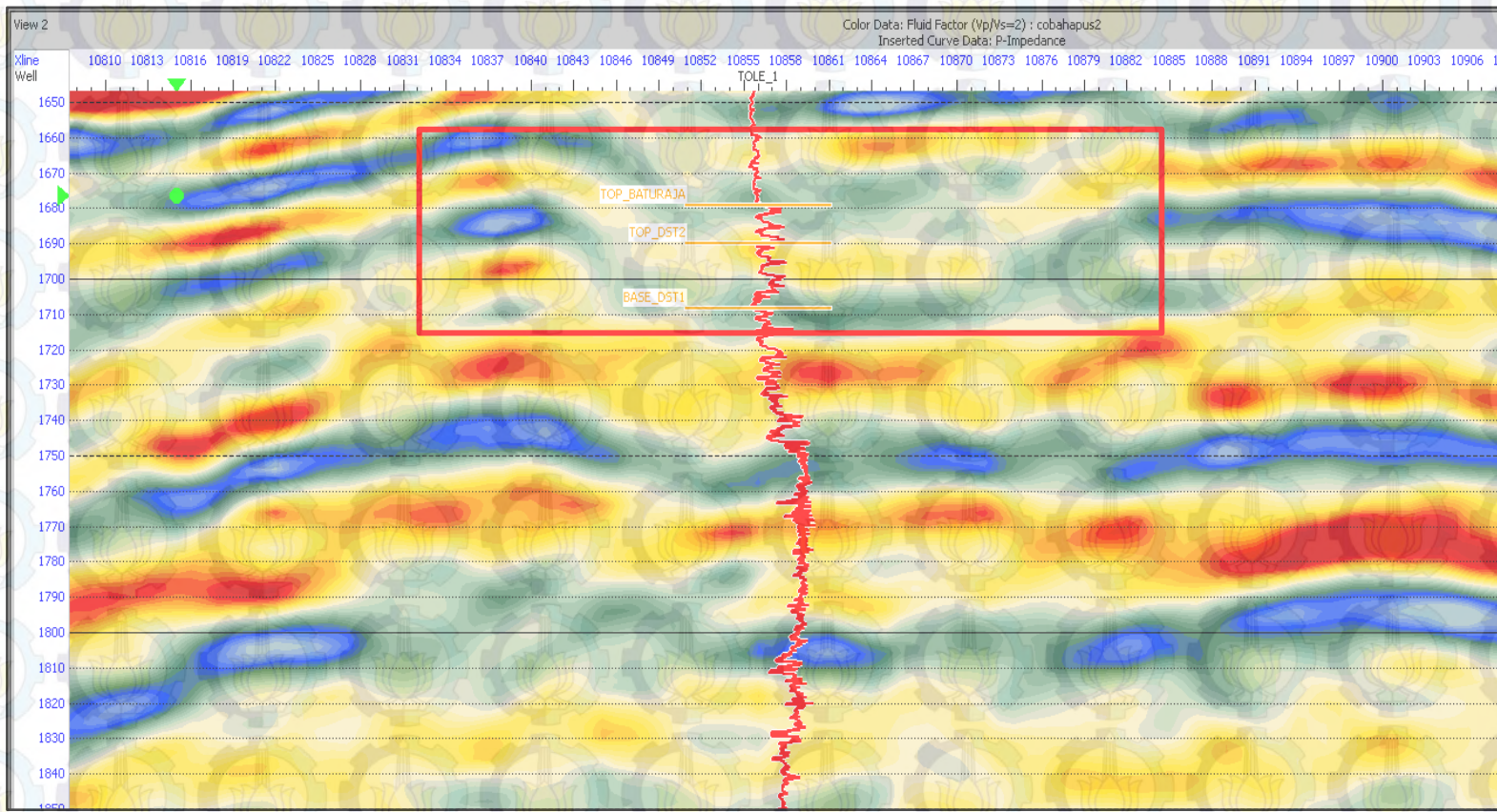
Scaled Poisson's ratio ($aA+bB$)



Atribut ini akan menunjukkan nilai negatif pada top reservoir dan nilai positif pada base reservoir (Ross, 2002)

Atribut AVO

Fluid factor



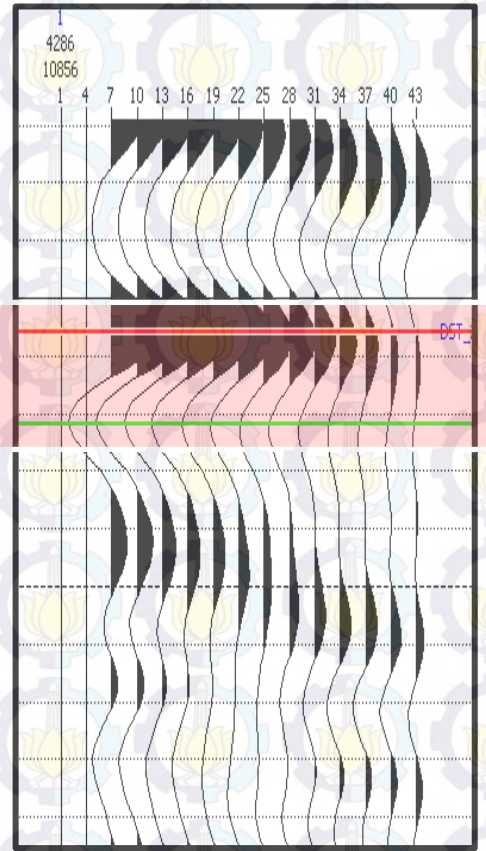
Zona reservoir akan menunjukkan kecenderungan nilai fluid factor negatif,
Sedangkan reservoir berisi air menunjukkan nilai mendekati nol atau positif .

HASIL DAN PEMBAHASAN

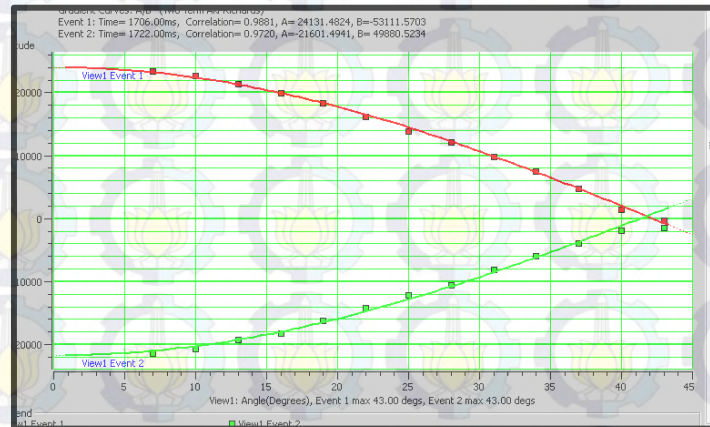
Atribut AVO

Analisa Top dan Base Reservoir

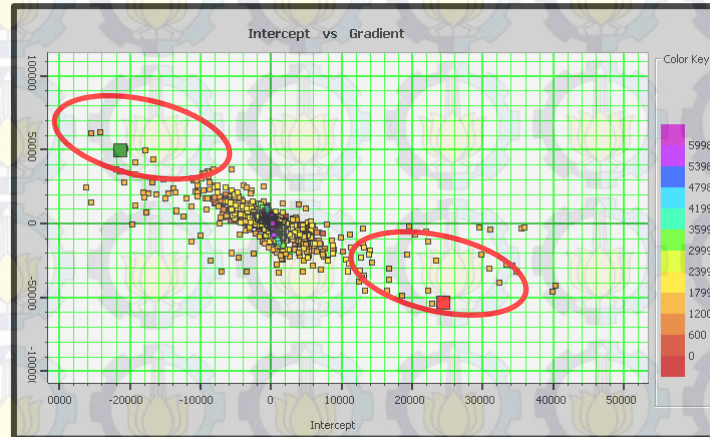
Seismik gather



Amplitudo vs sudut



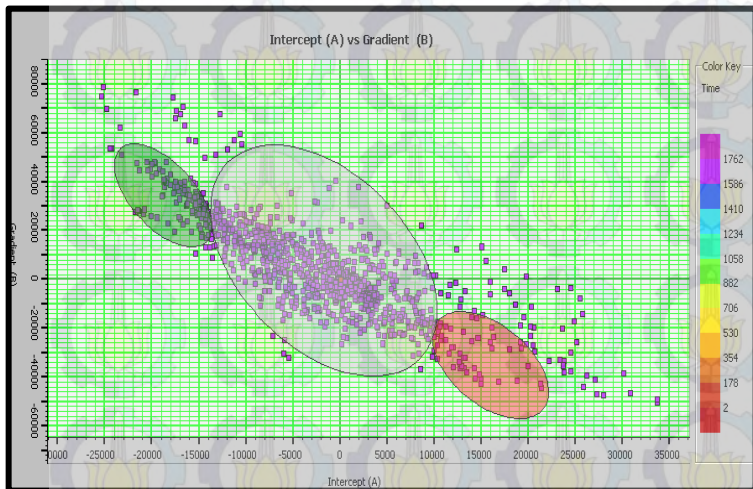
A vs B



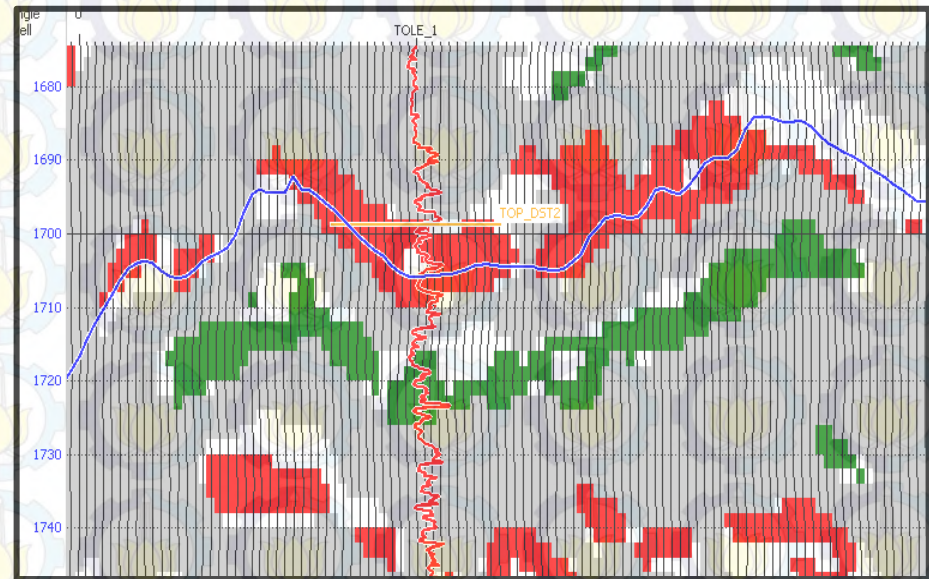
Atribut AVO

Analisa Top dan Base Reservoir

Crossplot seismik
Intercept vs Gradien

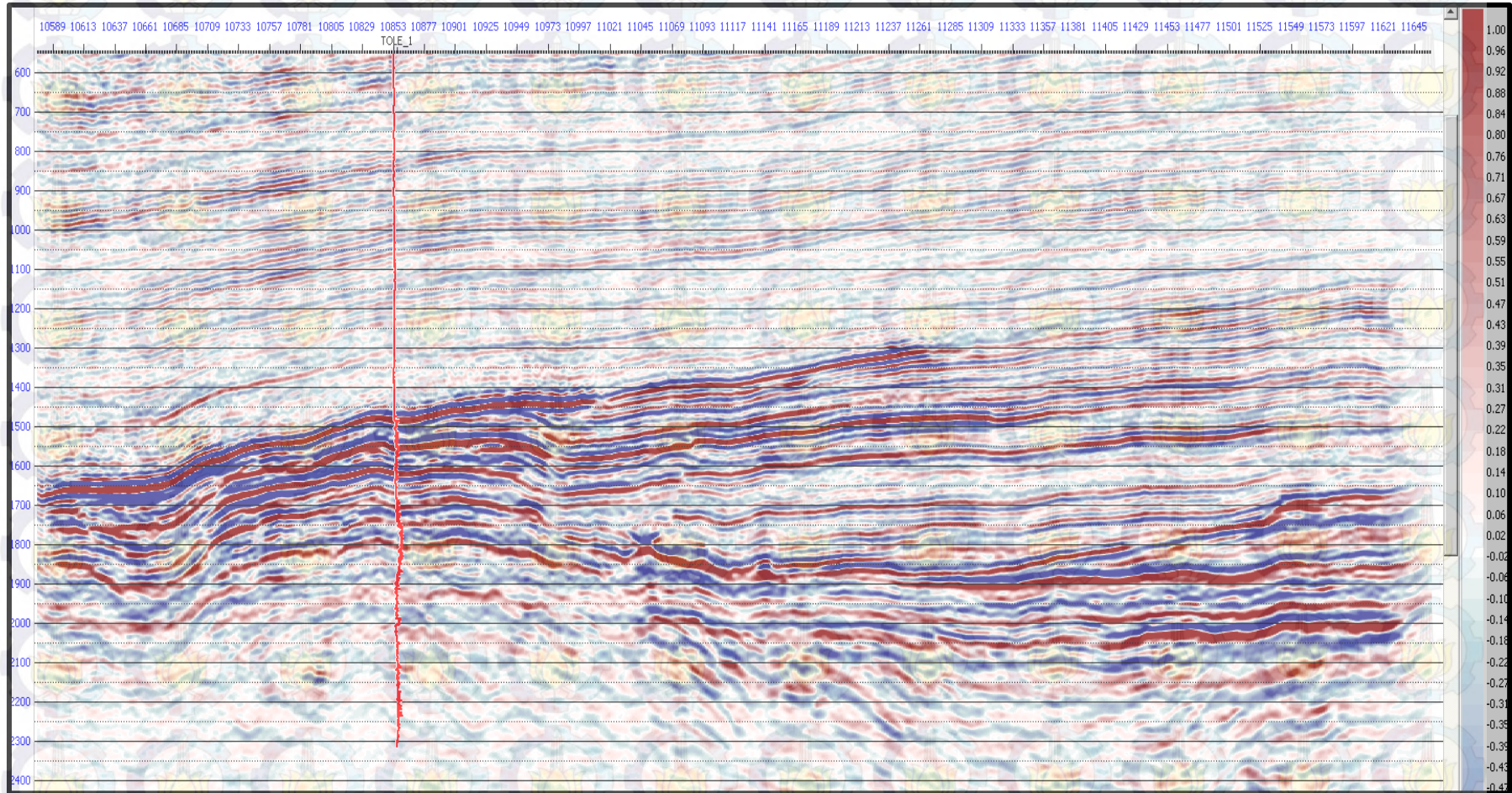


Cross section



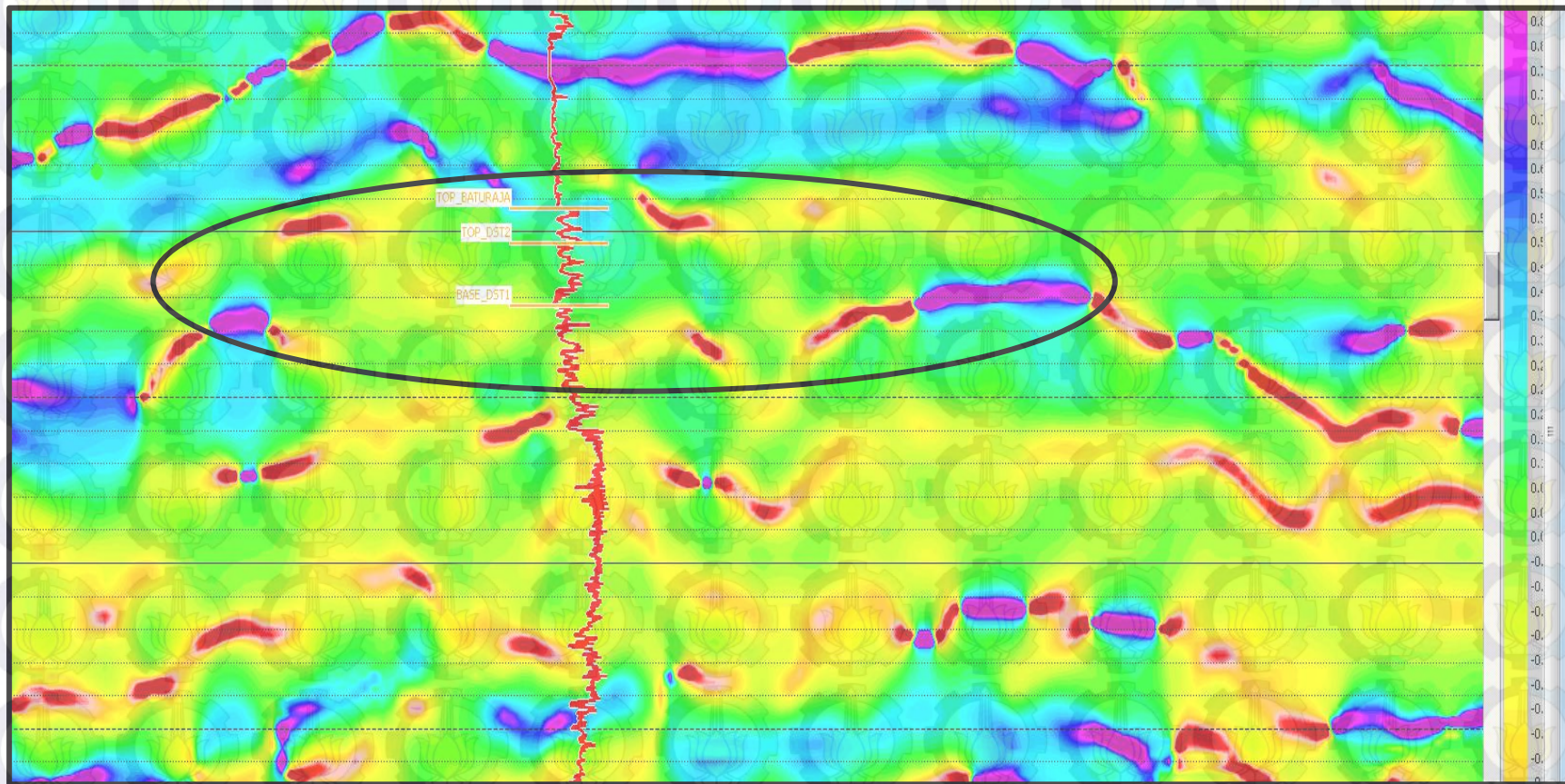
Atribut Seismik

Penampang seismik Angle Stack



Atribut Seismik

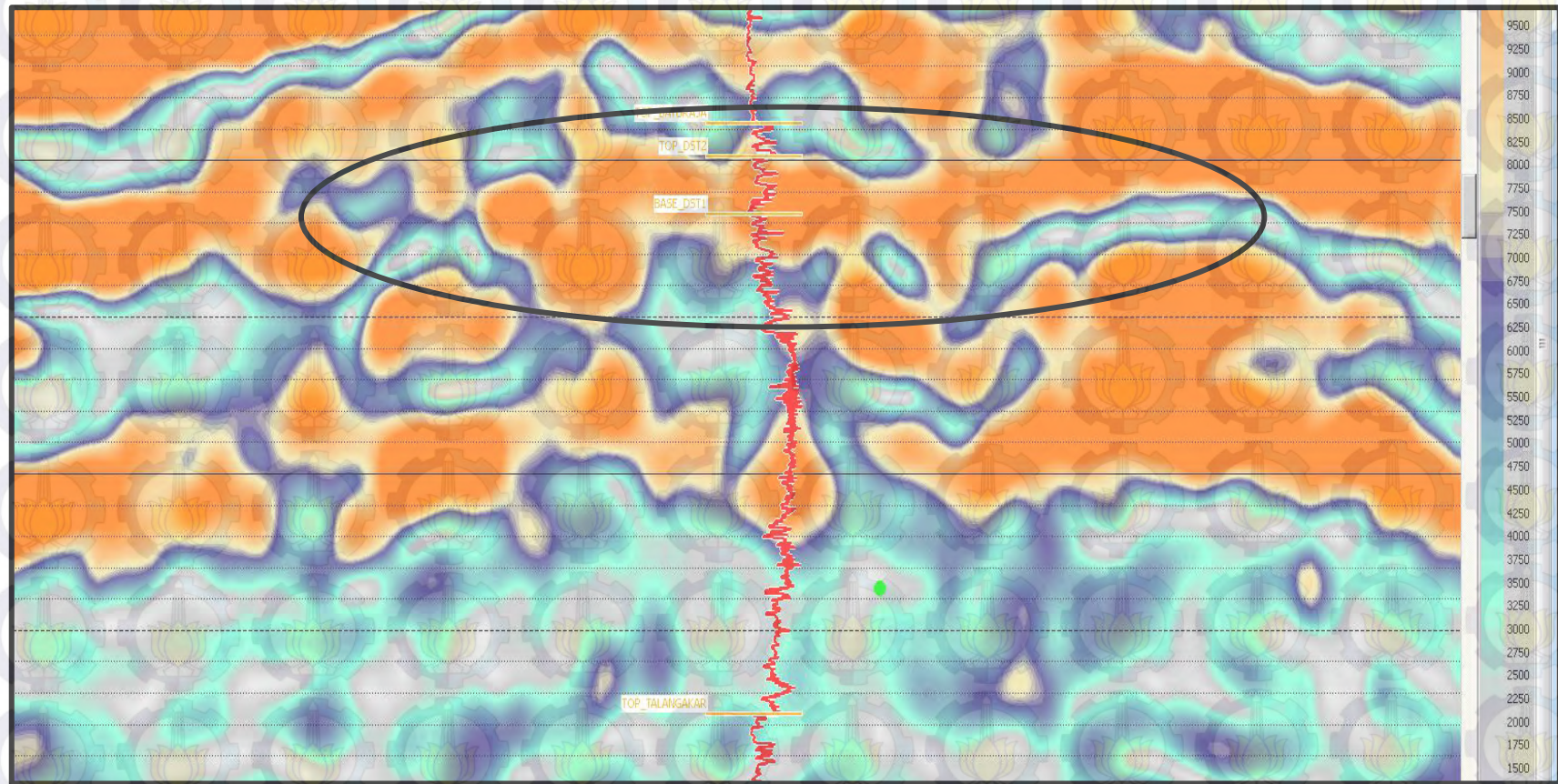
Frekuensi Sesaat



Daerah yang mengandung gas akan menghasilkan anomali nilai frekuensi sesaat rendah

Atribut Seismik

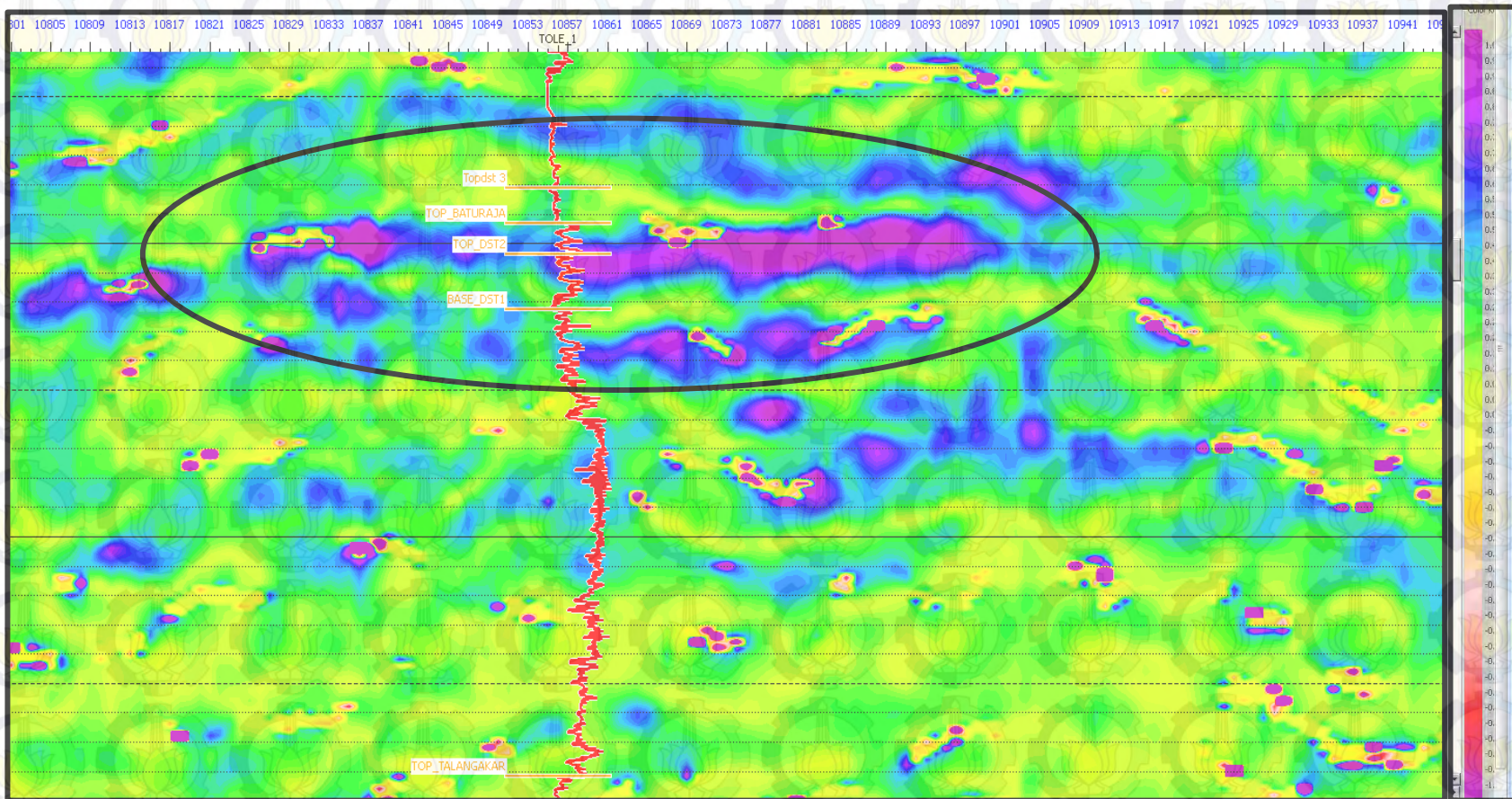
Envelope



Daerah yang memiliki kontras AI akan menghasilkan nilai anomali tinggi

Atribut Seismik

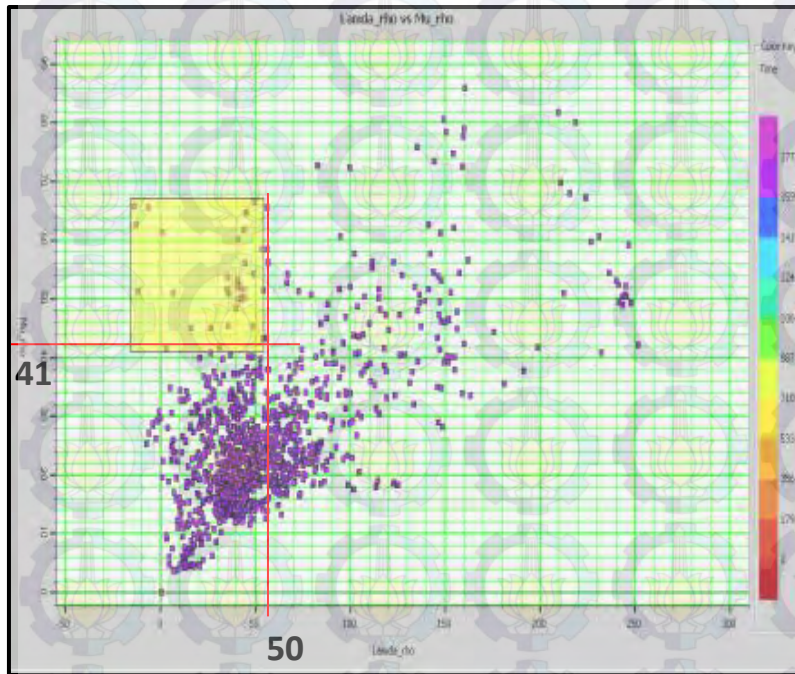
Envelope



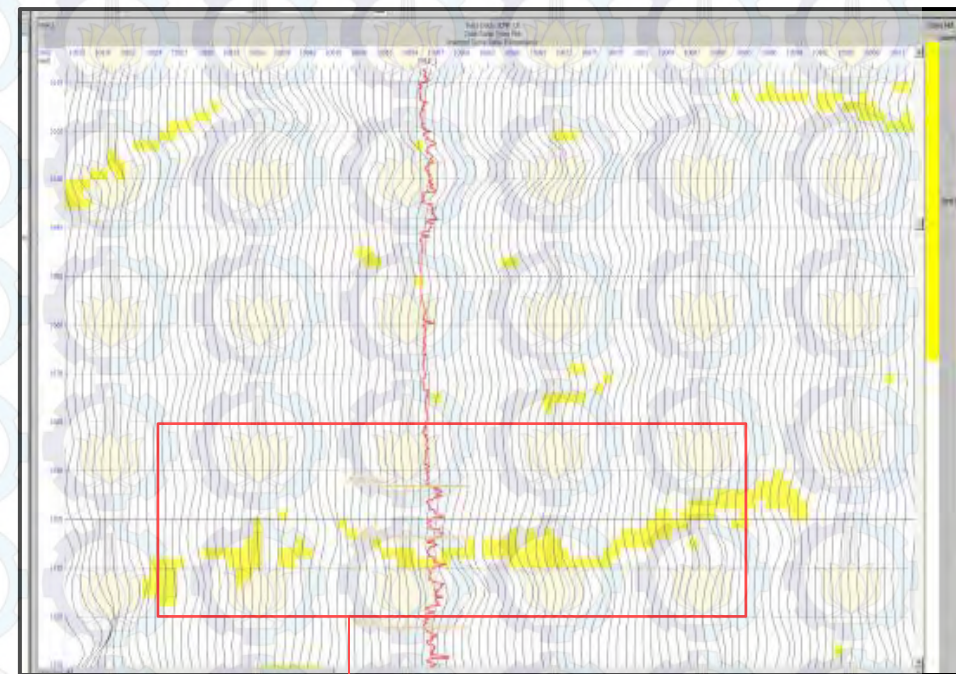
Akumulasi gas berdasarkan dengan anomali nilai tinggi atribut sweetness

Transformasi LMR

Crossplot Mu rho vs Lambda rho



Persebaran data
pada data seismik



CDP 10820 sampai 10890

OUTLINE

PENDAHULUAN

GEOLOGI REGIONAL

TINJAUAN PUSTAKA

METODOLOGI

HASIL DAN
PEMBAHASAN

KESIMPULAN

Kesimpulan

- Zona potensi Gas terdapat pada kedalaman 1775 m -1850 m formasi Baturaja dengan, dengan tren nilai P-impedance, Sw dan Lambda rho rendah dan nilai porositas efektif, permeabilitas dan Mu rho tinggi
- AVO dapat membedakan respon fluida pada batuan Karbonat, pada karbonat zona gas mengalami pengurangan amplitudo yang lebih drastis dibandingkan zona yang kosong.
- Angle Limited stack dan atribut AVO memperlihatkan anomali gas memiliki karakteristik “Dim Spot”
- Atribut AVO baik dalam memperlihatkan respon gas karbonat
- Atribut seismik dapat memperlihatkan pengaruh respon gas, dimana atribut sweetness lebih bagus dalam memetakan gas.

Saran



Dapat dilakukan analisa AVO pada reservoir karbonat yang berisi brine atupun minyak.



Perlu dilakukan analisa dengan sumur tambahan untuk melakukan validasi terhadap persebaran anomali fluida

TERIMAKASIH

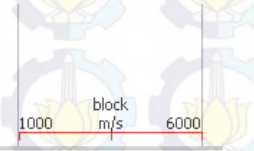
MATUR SUWUN



***"The Future Of Indonesian's Energy Needs
Is In Our Hand"***

LAMPIRAN

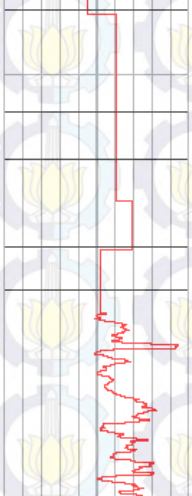
Resolusi Vertikal



$$\text{Thickness resolution} = \frac{1}{4} \lambda$$

$$\text{Dimana : } \lambda = \frac{v}{\text{frequency}}$$

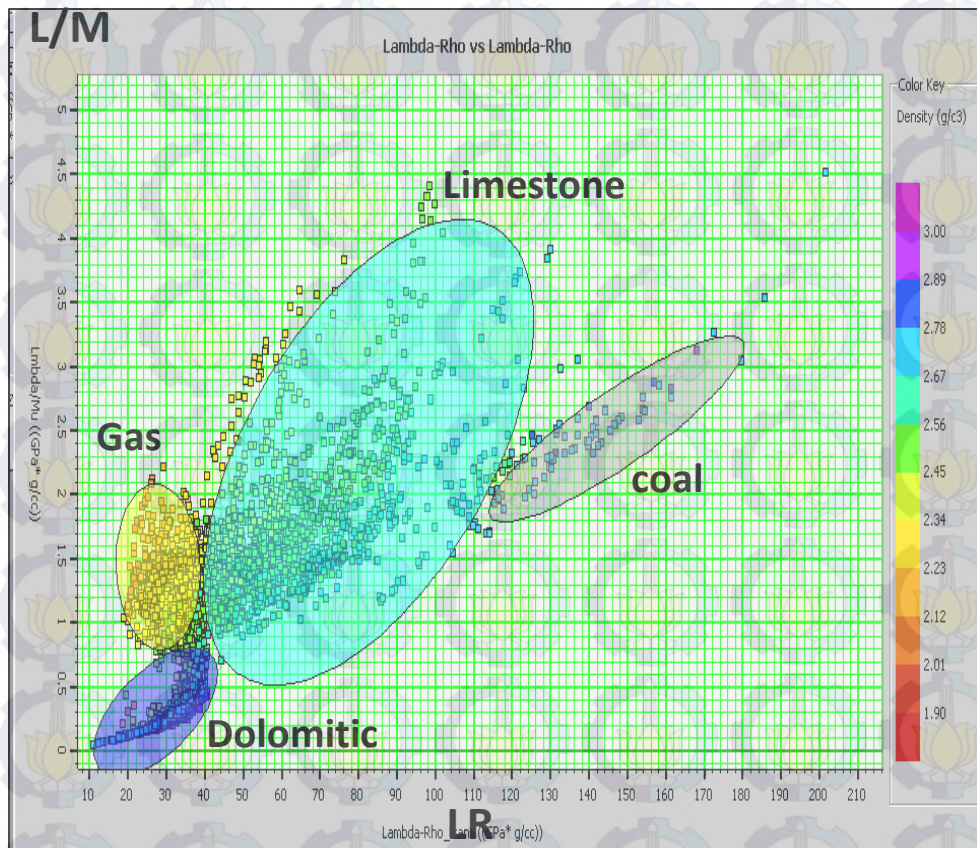
$$\text{Sehingga resolusinya} = \frac{1}{4} * \frac{4060.23}{21} = 48 \text{ m}$$



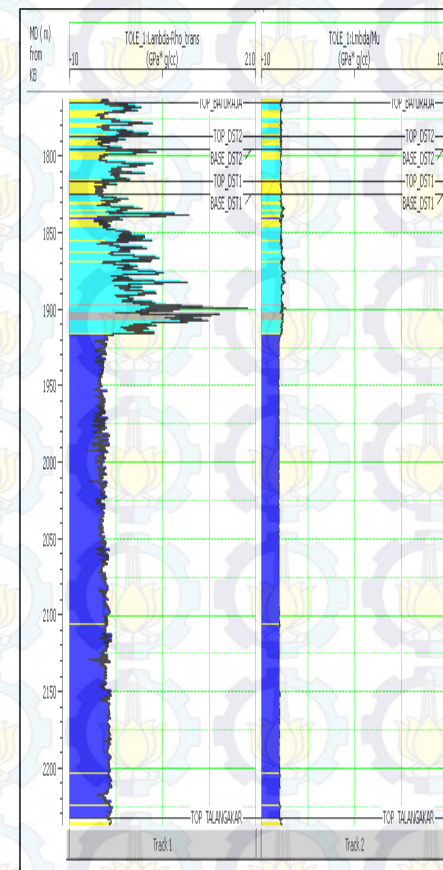
Analisa Fisika Batuan

Lambda-Rho vs Lambda/Mu

Crossplot



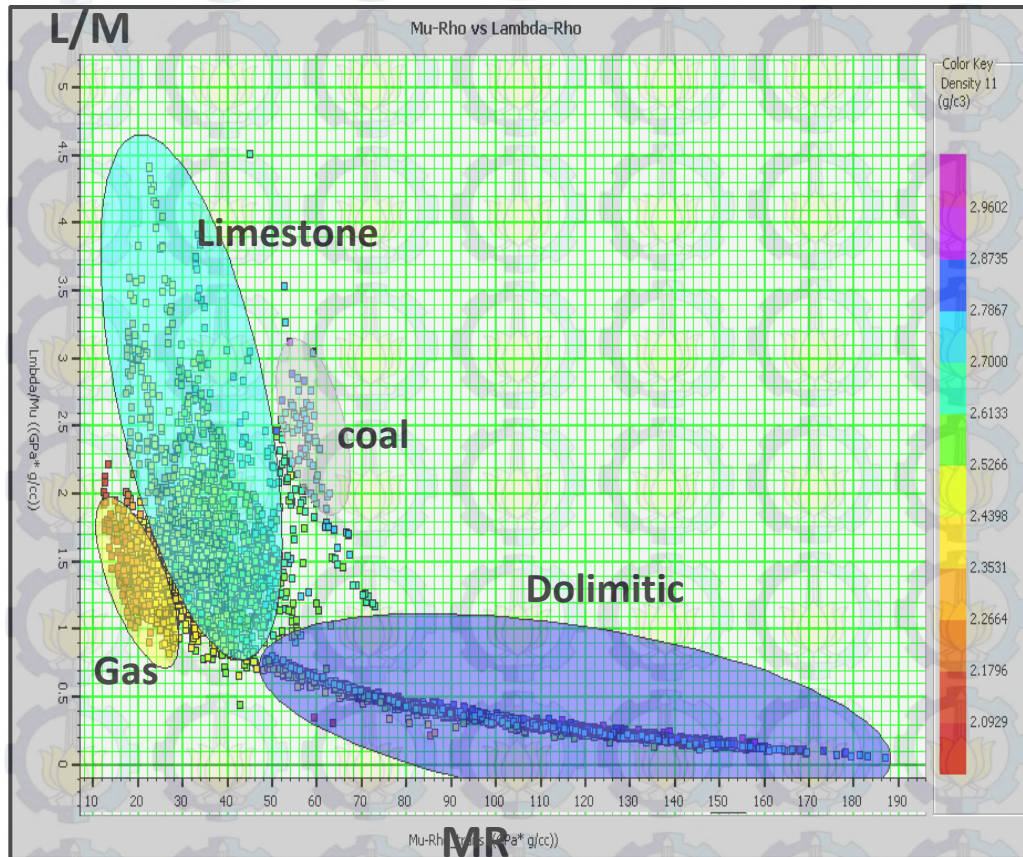
Cross section



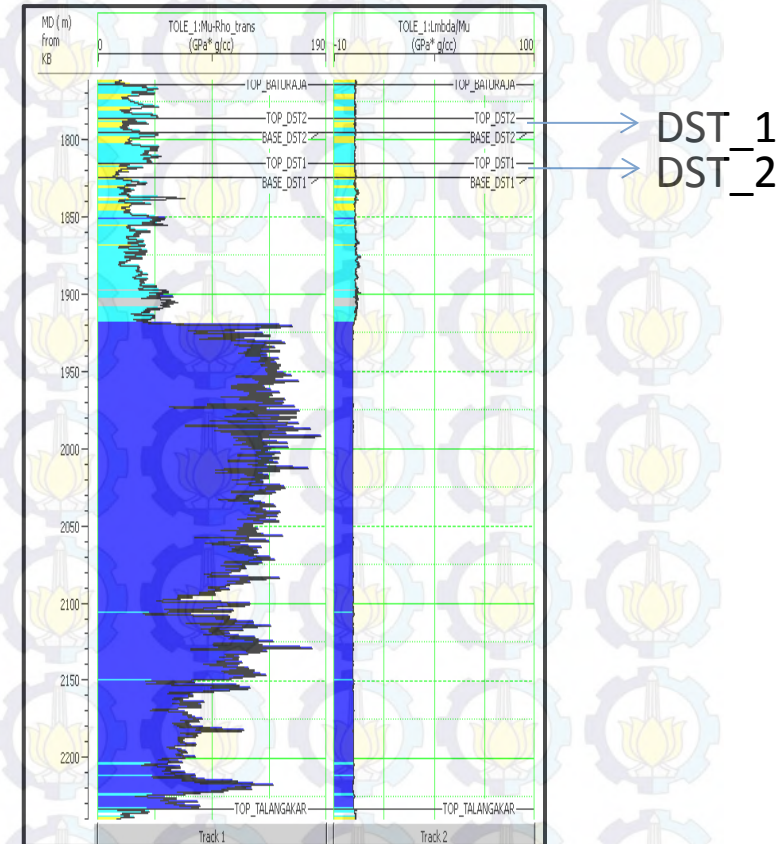
Analisa Fisika Batuan

Lambda/Mu vs Mu-Rho

Crossplot



Cross section

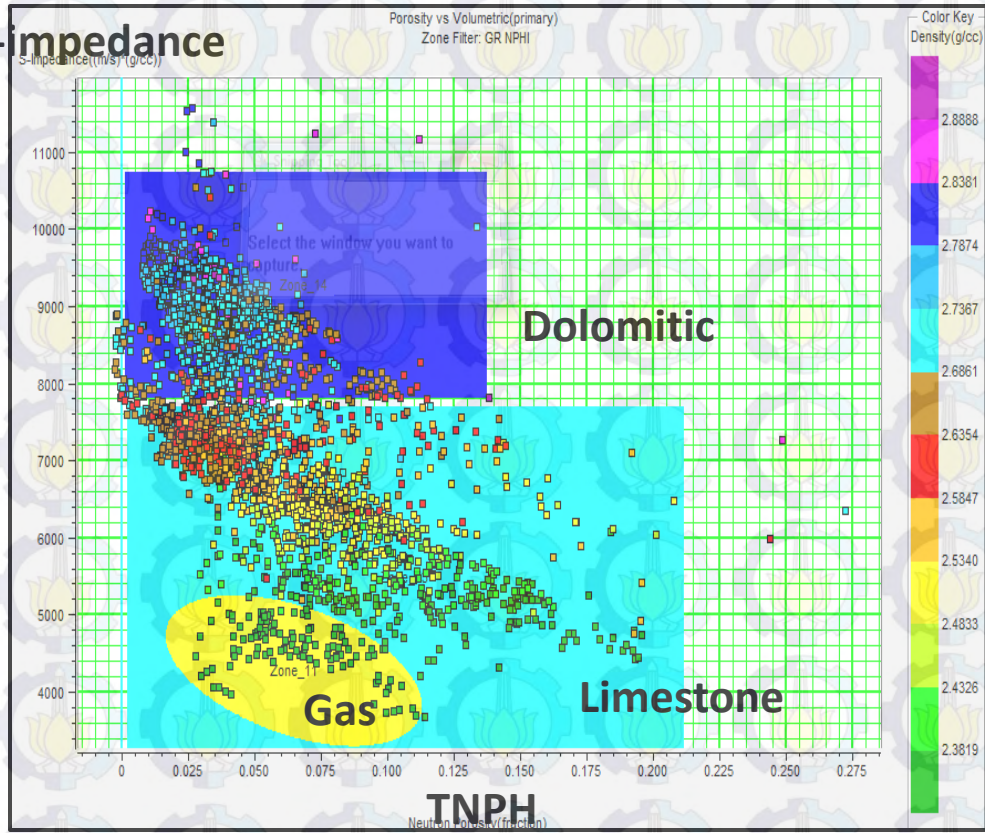


Analisa Fisika Batuan

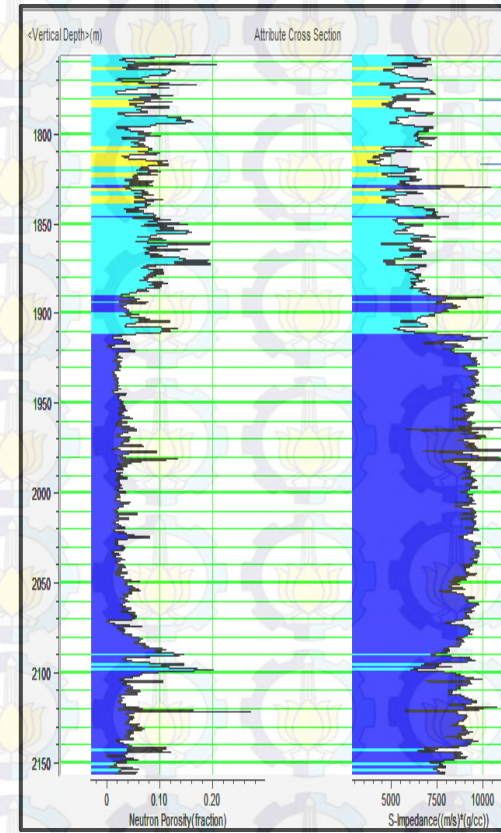
S-impedance vs Porositas neutron

Crossplot

S-impedance



Cross section



Conditioning data seismik

Data 3D Gather

NMO

Bandpass Filter

Trim Static

INVEST

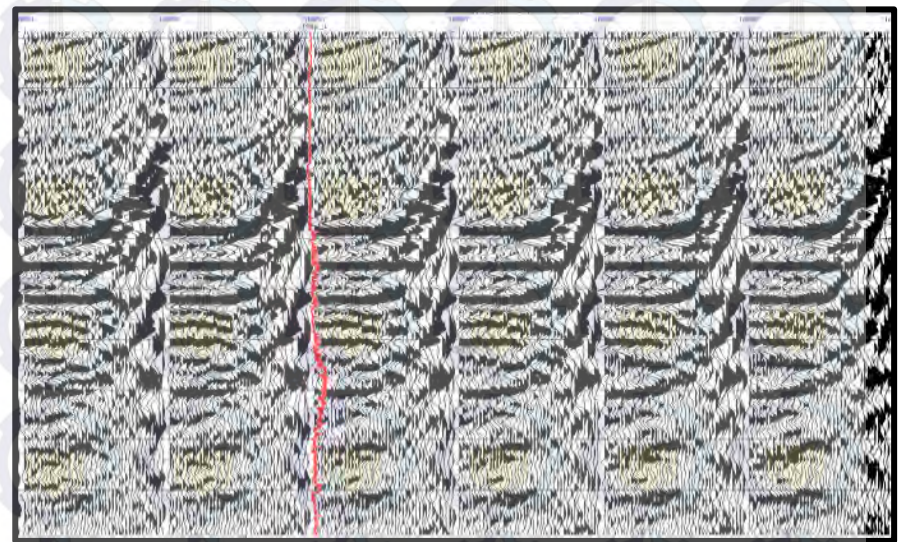
Mute

Super Gather

Trim Static

Angle Gather

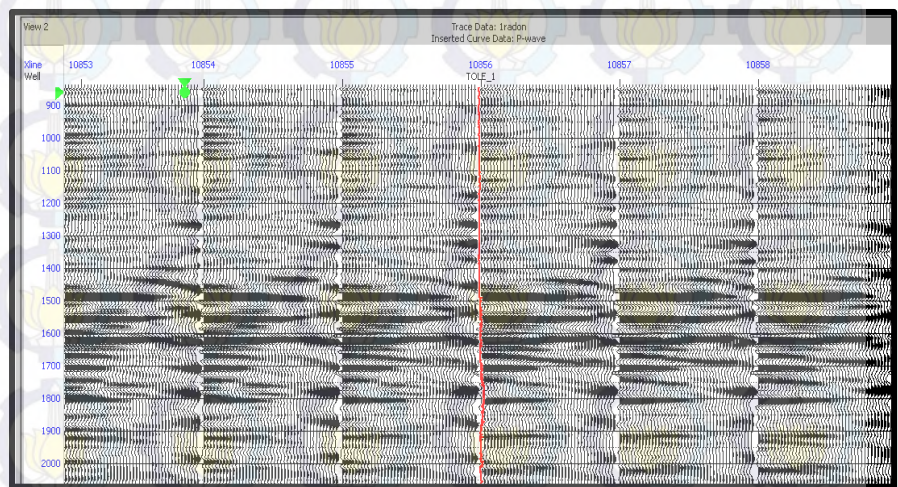
Trim Static
(kontrol horizon parigi)



Parabolic Radon Transform

Low Delta t = -20 ms

High delta t = 50 ms



Conditioning data seismik

Data 3D Gather

NMO

Bandpass Filter

Trim Static

INVEST

Mute

Super Gather

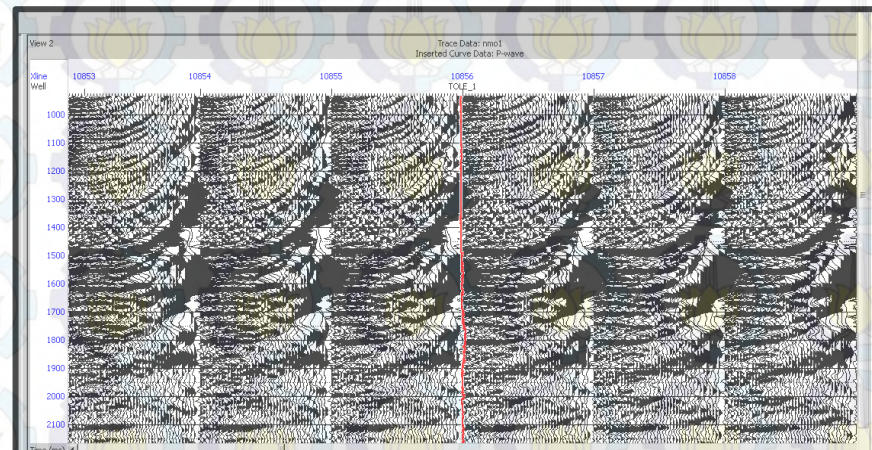
Trim Static

Angle Gather

Koreksi NMO

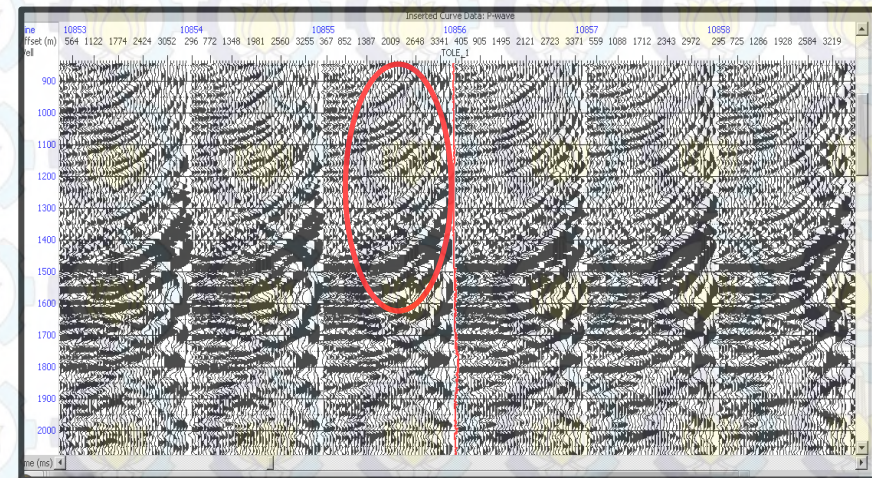
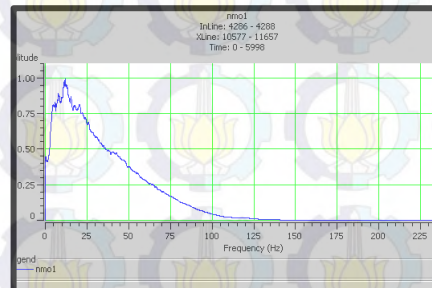
$$t_x = \sqrt{t_0^2 + \frac{x^2}{V_s^2}},$$

Persamaan Dix



Bandpass Filter

5/8 / 55/60 Hz



Conditioning data seismik

Data 3D Gather

NMO

Bandpass Filter

Trim Static

INVEST

Mute

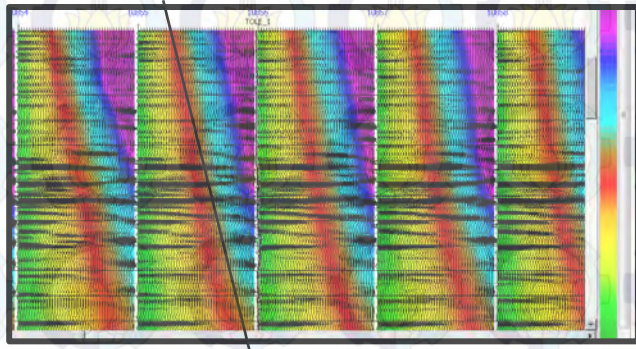
Super Gather

Trim Static

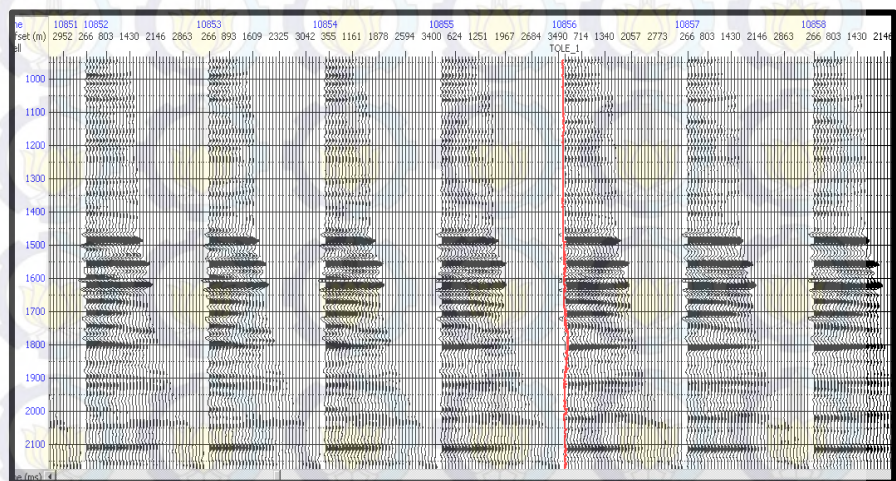
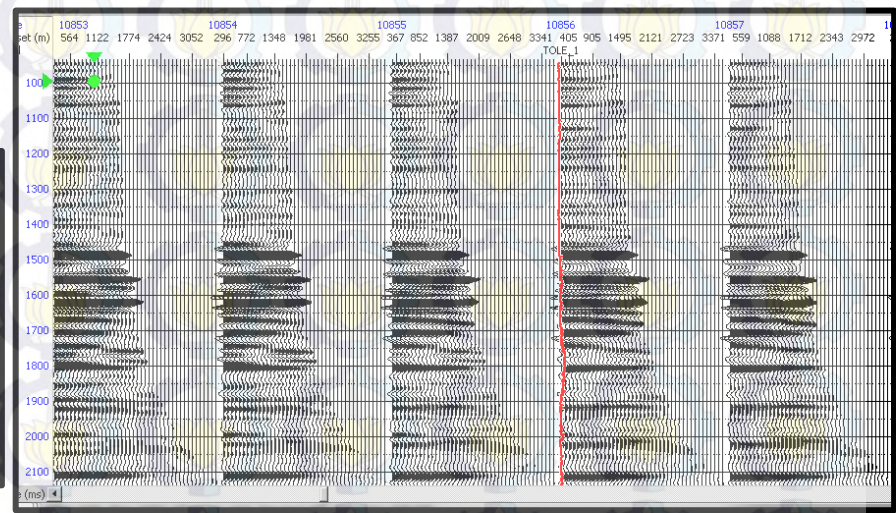
Angle Gather

Muting

(color key Incident angle)



Super gather
(jumlah offset 42)



Conditioning data seismik

Data 3D Gather

NMO

Bandpass Filter

Trim Static

INVEST

Mute

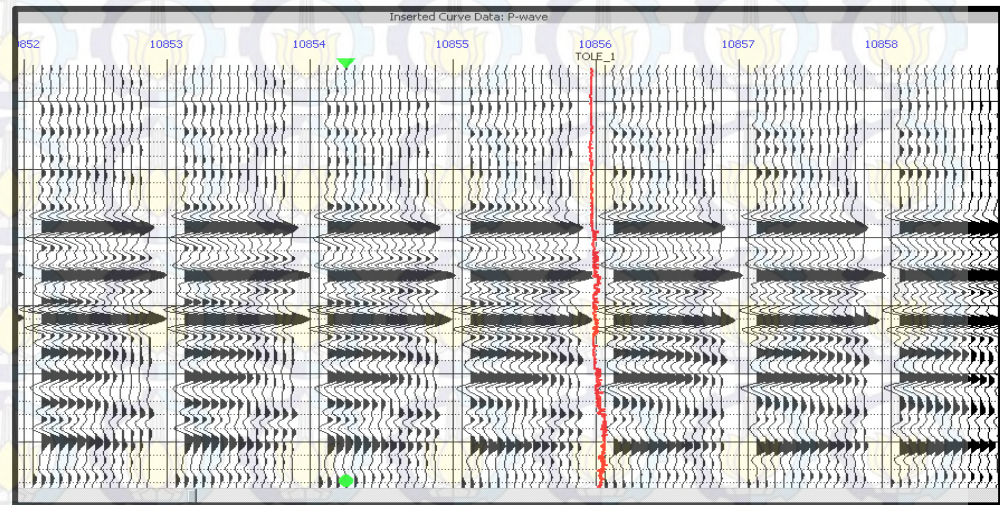
Super Gather

Trim Static

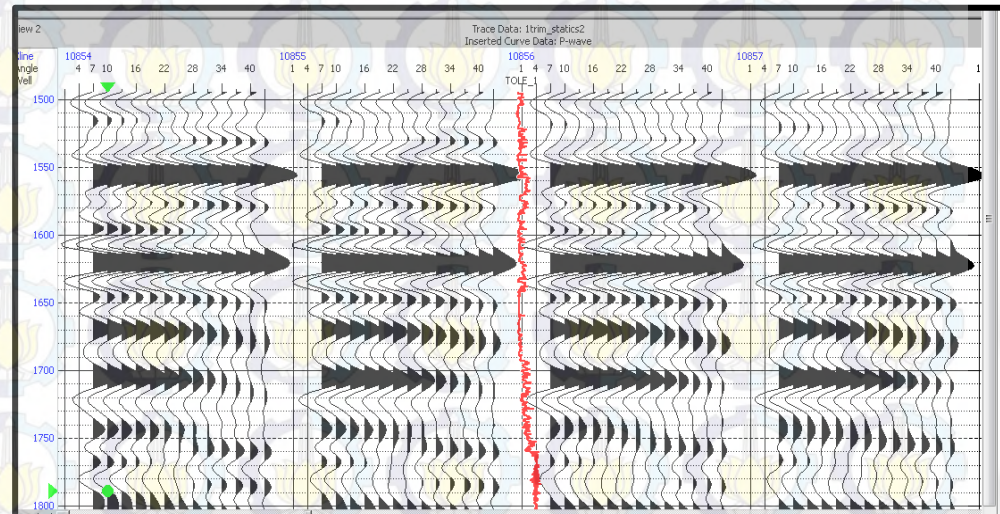
Angle Gather

Trim Static

(kontrol horizon sumuran
kedalaman 1740 ms)

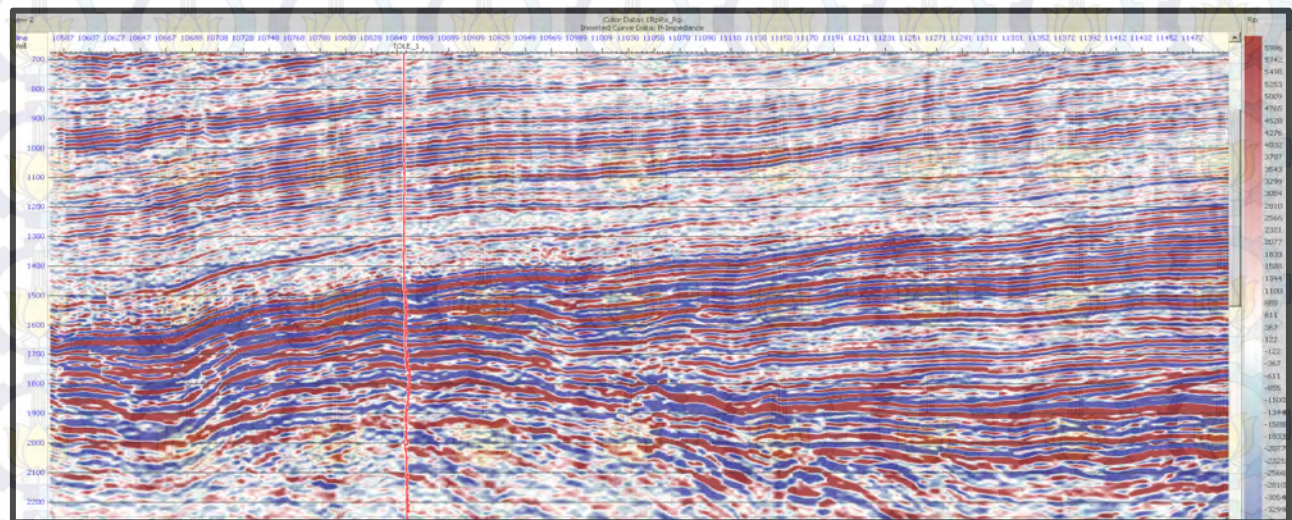


Angle Gather
(sudut 0 - 42)



Seismik Rp dan Rs

Penampang
Reflektifitas P



Penampang
reflektifitas S

